

# Solutions bornées et auto-similaires d'équations intégrales

Jean-François Bertazzon\* et Vincent Delecroix†

## Résumé

Nous construisons des solutions bornées aux équations intégrales

$$\int_0^{\lambda x} f(t) dt = f(x) - f(0)$$

où  $\lambda \geq 2$  est un entier. Cette construction s'appuie sur une méthode originale de limite de sommes de Birkhoff itérées.

## 1 INTRODUCTION

Nous nous intéressons aux équations intégrales :

$$\int_0^{\lambda x} f(t) dt = \delta(f(x) - f(0)) \quad \text{pour tout } x \geq 0. \quad (E_{\lambda, \delta})$$

Remarquons tout d'abord que le paramètre  $\delta$  est accessoire : si  $f$  est solution de  $(E_{\lambda, \delta})$  alors  $g(x) = f(|\delta|x)$  est solution de  $(E_{\lambda, 1})$  ou  $(E_{\lambda, -1})$ . Cependant, il s'avère naturel de considérer des paramètres  $\lambda$  et  $\delta$  entiers dans notre construction. On préférera parfois la formulation équivalente

$$f'(x) = \frac{\lambda}{\delta} f(\lambda x) \quad \text{pour tout } x \geq 0. \quad (E'_{\lambda, \delta})$$

L'équation ci-dessus est un cas particulier de *l'équation du pantographe* dont la forme générale est

$$f'(x) = af(\lambda x) + bf(x) \quad \text{avec } a, b \in \mathbb{R} \text{ et } \lambda \in \mathbb{R}_+.$$

Nous renvoyons à l'introduction de [BDMO08] pour une bibliographie récente sur le sujet.

Si  $0 < \lambda \leq 1$ , l'espace des solutions de l'équation  $(E_{\lambda, \delta})$  est de dimension 1 et les solutions sont analytiques. Dans le cas qui nous intéresse,  $\lambda > 1$ , le théorème suivant montre que l'espace des solutions est de dimension infinie.

**Théorème 1.** *Soit  $f \in C^\infty([1, \lambda])$  telle que, pour tout entier  $n$ , on ait  $f^{(n)}(1) = f^{(n)}(\lambda) = 0$ . Alors  $f$  se prolonge de manière unique en une fonction  $C^\infty([0, \infty[)$  solution de  $(E_{\lambda, \delta})$ .*

Nous montrons que les solutions ne peuvent pas être périodiques et s'annulent nécessairement infiniment souvent si  $\delta > 0$ .

**Théorème 2.** *Soit  $f$  une solution de l'équation  $(E_{\lambda, \delta})$  avec  $\lambda > 1$ .*

- Si  $\delta \neq 0$  et  $f$  est périodique, alors  $f = 0$ ,
- Si  $\delta > 0$ , alors pour tout  $t > \frac{\delta}{\lambda(\lambda - 1)}$  la fonction  $f$  s'annule au moins une fois dans

$$\text{l'intervalle } \left[ \frac{t}{\delta}, \frac{t}{\delta} \lambda^3 \right].$$

\*Lycée Notre-Dame de Sion, 231 Rue Paradis, 13006 Marseille, France. *E-mail adresse:* jeffbertazzon@gmail.com

†LaBRI, UMR 5800 Bâtiment A30 351, cours de la Libération 33405 Talence cedex, France. *E-mail adresse:* vincent.delecroix@labri.fr



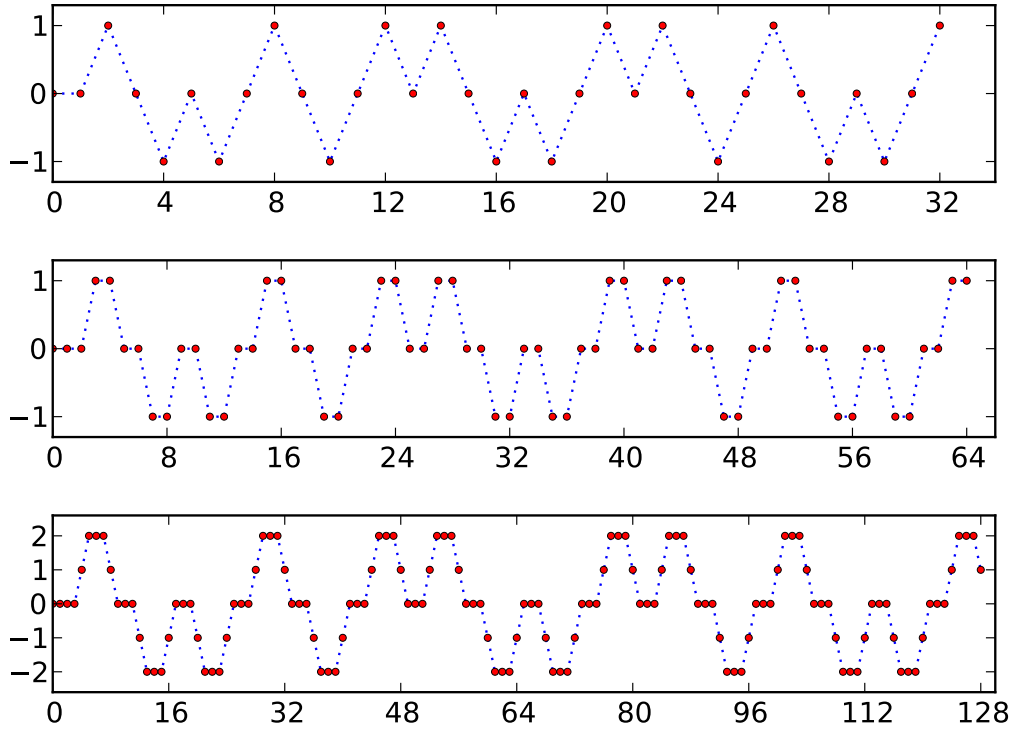


FIGURE 1 – Les sommes  $S^{(k)}(\varphi, w)$  pour  $k = 1, 2, 3$  pour le mot de Prouet-Thue-Morse  $w$  et  $\varphi = \chi_a - \chi_b$ .

Les quantités  $S_n^{(1)}(\varphi, w)$  peuvent à nouveau être considérées comme une fonction  $n \mapsto S_n^{(1)}(\varphi, w)$ . On construit alors par récurrence une suite de fonctions discrètes en définissant  $S^{(\ell+1)}(\varphi, w)$  comme la somme de Birkhoff de  $S^{(\ell)}(\varphi, w)$ . Nous montrons que cette suite de fonctions discrètes proprement renormalisée converge vers une solution de  $(E_{2,1})$  (voir les figures 1 et 2).

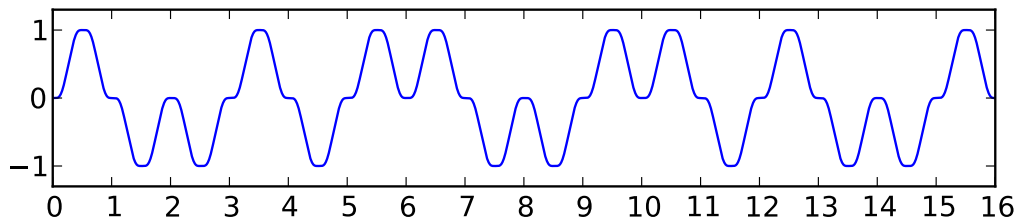


FIGURE 2 – La fonction limite  $f_w$  pour le mot de Prouet-Thue-Morse  $w$  obtenue avec notre construction pour la fonction  $\varphi = \chi_a - \chi_b$  (fonction de Fabius [Fa66]).

Plus généralement, pour tout mot infini  $w$  sur  $\{a, b\}$  et toute fonction  $\varphi : \{a, b\} \rightarrow \mathbb{R}$ , nous pouvons définir ses sommes de Birkhoff  $S_n^{(\ell)}(\varphi, w)$ . Notons que si  $w = w_0 w_1 \dots w_{m-1}$  est un mot fini, la somme de Birkhoff  $S_n^{(i)}(\varphi, w)$  a bien un sens tant que  $n$  est inférieur ou égal à la longueur  $m$  du mot  $w$ . Pour déterminer le paramètre  $\delta$  de l'équation fonctionnelle, nous introduisons la définition suivante.

**Lemme 1.** *Soit  $\sigma$  une substitution  $\lambda$ -uniforme sur  $\{a, b\}$ . Soit  $\varphi : \{a, b\} \rightarrow \mathbb{R}$  telle que  $\varphi(a) \neq \varphi(b)$ , alors pour tout  $i \geq 1$ , la quantité*

$$\frac{S_\lambda^{(i)}(\varphi, \sigma(a)) - S_\lambda^{(i)}(\varphi, \sigma(b))}{\varphi(a) - \varphi(b)}$$

est indépendante de  $\varphi$  (telle que  $\varphi(a) \neq \varphi(b)$ ). On notera  $\delta_i(\sigma)$  cette quantité et

$$\delta(\sigma) = \left( \delta_1(\sigma), \dots, \delta_\lambda(\sigma) \right).$$

Nous renvoyons le lecteur à la section 3.3 pour la preuve de ce lemme. Remarquons cependant que  $\delta_1(\sigma) = 0$  si et seulement si  $\sigma(a)$  et  $\sigma(b)$  contiennent le même nombre de  $a$  (et à fortiori le même nombre de  $b$ ).

Notre résultat principal est le suivant.

**Théorème 4.** *Soit  $\sigma$  une substitution  $\lambda$ -uniforme sur  $\{a, b\}$  telle que  $\delta_1(\sigma) = 0$ ,  $\delta = \delta_2(\sigma) \neq 0$  et admettant un point fixe  $\mathbf{w} = w_0 w_1 w_2 \dots$ . Alors il existe deux fonctions continues  $f_a, f_b : [0, \lambda] \rightarrow \mathbb{R}$  non-nulles avec  $f_a(0) = f_a(\lambda) = f_b(0) = f_b(\lambda) = 0$  telles que  $f = f_{\mathbf{w}}$  est une solution de l'équation  $(E_{\lambda, \delta})$ .*

Ce théorème est une généralisation d'un résultat du premier auteur [Be12-b]. Dans ce dernier, la fonction limite  $f_{\mathbf{w}}$  est construite dans le cas particulier de la substitution de Prouet-Thue-Morse pour laquelle  $\delta = (0, 1)$ . Dans le cas général, un des points délicats est d'obtenir la valeur en 0 de la fonction limite. On trouvera plusieurs autres exemples dans les figures 3, 4 et 5 pour les substitutions  $(a \mapsto aab, b \mapsto aba)$ ,  $(a \mapsto aab, b \mapsto baa)$  et  $(a \mapsto abbaa, b \mapsto baaab)$  qui vérifient

$$\delta(aab, aba) = (0, 1, 0), \quad \delta(aab, baa) = (0, 2, 1) \quad \text{et} \quad \delta(abbaa, baaab) = (0, -1, 2, 3, 1),$$

où nous avons abrégé  $\delta(a \mapsto w_a, b \mapsto w_b)$  par  $\delta(w_a, w_b)$ . Étant donnée une substitution  $\lambda$ -uniforme telle que  $\delta_1(\sigma) = 0$ , nous verrons dans la section 7 que la fonction  $\varphi$  la mieux adaptée à la construction est  $|\sigma(a)|_b \chi_a - |\sigma(a)|_a \chi_b$ .

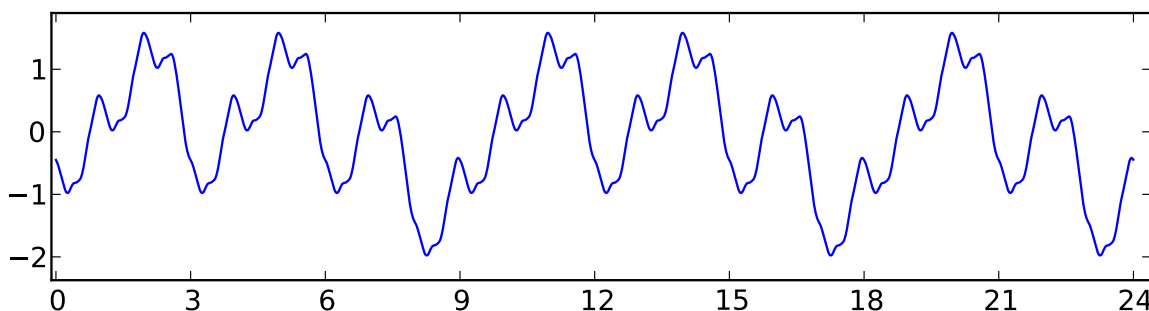


FIGURE 3 – Fonction  $f_{\mathbf{w}}$  pour le point fixe commençant par  $a$  de la substitution  $(a \mapsto aab, b \mapsto aba)$  obtenue avec notre construction pour la fonction  $\varphi = \chi_a - 2\chi_b$ .

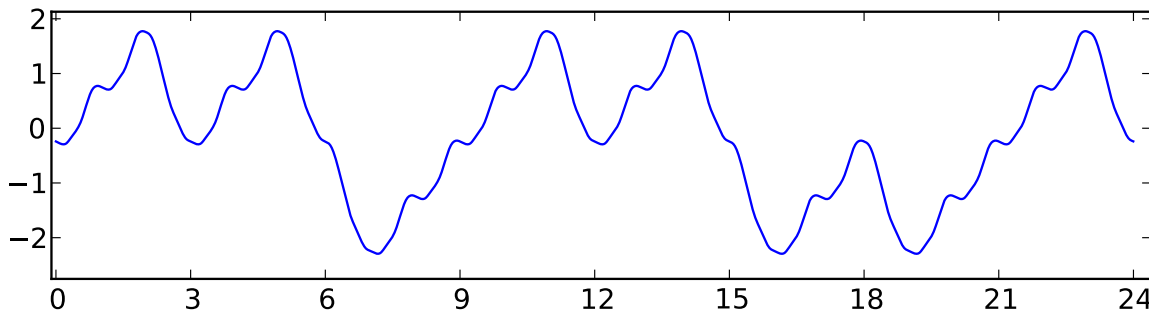


FIGURE 4 – Fonction  $f_{\mathbf{w}}$  pour le point fixe commençant par  $a$  de la substitution  $(a \mapsto aab, b \mapsto baa)$  obtenue avec notre construction avec la fonction  $\varphi = \chi_a - 2\chi_b$ .

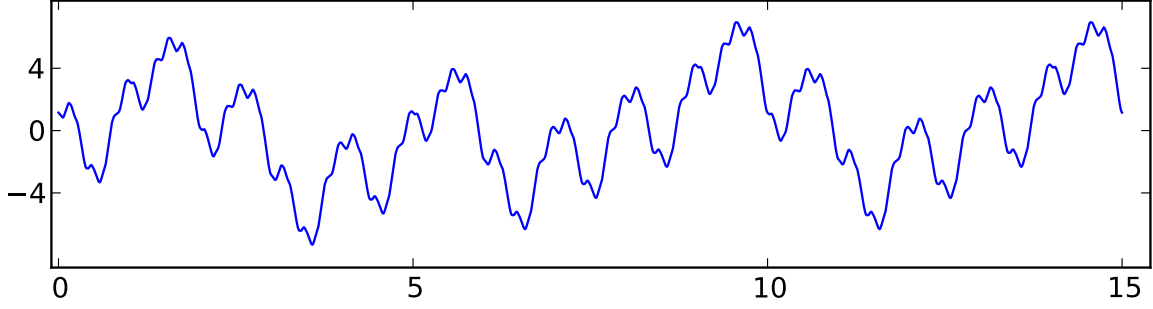


FIGURE 5 – Fonction  $f_w$  pour le point fixe commençant par  $a$  de la substitution  $(a \mapsto abbaa, b \mapsto baaab)$  obtenue avec notre construction avec la fonction  $\varphi = 2\chi_a - 3\chi_b$ .

**Remarque 1.** Il se peut qu’une substitution sur  $\{a, b\}$  aient deux points fixes (un commençant par  $a$  et un commençant par  $b$ ). Dans ce cas, les fonctions  $f_w$  obtenues à partir de ces deux points fixes sont les concaténations des mêmes fonctions  $f_a$  et  $f_b$ , seul l’ordre de la concaténation diffère.

Les premiers travaux considérant de telles fonctions remontent à J. Fabius [Fa66]. Dans son travail, il construit une fonction qui s’écrit comme concaténation de  $f_a$  et  $f_b = -f_a$  le long du mot de Prouet-Thue-Morse et qui est solution de  $(E_{2,1})$ . La définition de Fabius de la fonction est donnée comme fonction de répartition d’une somme infinie de variables aléatoires. Nous obtenons la même fonction par une méthode bien différente dans le Théorème 4 en prenant la substitution de Prouet-Thue-Morse. Cette fonction est également celle considérée dans [Be12-b]. Pour tout paramètre  $\lambda > 1$  (y compris irrationnel), T. Yoneda [Yo06] et [Yo07] obtient une solution de  $E_{\lambda,\delta}$ . De plus il prouve que cette solution est bornée si et seulement si  $\lambda \geq 2$ . Pour le cas  $\lambda = 2$ , il retrouve la fonction de Fabius. Pour les cas  $\lambda > 2$ , cette solution est distincte de celles que l’on peut obtenir avec notre approche.

Pour démontrer notre résultat principal (le théorème 4), nous commençons par introduire dans la section 3 un groupe  $G$  construit comme produit semi-direct de l’espace des suites  $\mathbb{R}^{\mathbb{N}}$  par  $\mathbb{R}$ . Dans ce groupe, les sommes de Birkhoff  $S_n^{(1)}, S_n^{(2)}, \dots$  apparaissent naturellement en regardant des produits dans  $G$  (voir le lemme 6).

Étant donné une substitution  $\sigma$  de longueur constante, nous construisons dans la section 4 un endomorphisme  $\mathcal{L}_\sigma$  de  $G$  qui généralise l’abélianisé d’une substitution : la puissance  $k$ -ème de l’endomorphisme  $\mathcal{L}$  décrit les sommes de Birkhoff au temps  $n = \lambda^k$ . Ce sont alors les puissances de  $\mathcal{L}$  qui vont nous permettre d’analyser le comportement des sommes. Cette analyse est le point central de cet article et est contenu dans les propositions 15 et 24. Une fois le comportement des puissances de  $\mathcal{L}_\sigma$  maîtrisé, nous démontrons la convergence des sommes de Birkhoff dans la section 7. À noter que dans cette section, les fonction  $f_a, f_b$  et  $f$  sont explicitement décrites comme des limites de somme de Birkhoff (voir le théorème 5).

## 2 PREUVE DES THÉORÈMES 1, 2 ET 3

Dans cette section nous donnons des preuves élémentaires des théorèmes 1, 2 et 3.

*Preuve du théorème 1.* Soit  $f$  une fonction comme dans l’énoncé. En utilisant  $(E'_{\lambda,\delta})$ , on peut prolonger  $f$  sur  $[\lambda, \lambda^2]$ , puis  $[\lambda^2, \lambda^3]$  et ainsi construire de proche en proche une fonction  $f : [1, +\infty[ \rightarrow \mathbb{R}$ . La condition imposée sur les dérivées garantit que la fonction est bien définie aux points  $\lambda^n$  avec  $n > 1$ . Pour prolonger la fonction sur  $[1/\lambda, 1]$ , on utilise la relation

$$f(x) = f(1) - \frac{1}{\delta} \int_{\lambda x}^1 f(s) ds.$$

Par construction,  $f$  est de classe  $C^\infty$  sur  $[1/\lambda, \lambda]$ . Plus généralement, si  $f$  est définie sur  $[\lambda^{-n}, \lambda]$ , on la prolonge sur  $[\lambda^{-n-1}, \lambda^{-n}]$  en posant

$$f(x) = f(\lambda^{-n}) - \frac{1}{\delta} \int_{\lambda x}^{\lambda^{-n+1}} f(s) ds.$$

Aux points  $\lambda^{-n}$ , la fonction ainsi prolongée est bien lisse (les formules qui définissent  $f$  coïncident à gauche et à droite des points  $\lambda^{-n}$ ). Par contre, il n'est pas immédiat de voir que la fonction ainsi construite se prolonge en 0. Introduisons pour  $n \geq 0$  les quantités

$$u_n = \max_{x \in [\lambda^{-n}, \lambda^{-n+1}]} |f(x)| \quad \text{et} \quad v_n = \max_{x, y \in [\lambda^{-n}, \lambda^{-n+1}]} |f(x) - f(y)|.$$

Nous allons montrer que  $v_n$  est le terme général d'une série convergente. Par définition et l'équation fonctionnelle  $(E_{\lambda, \delta})$  ces suites vérifient pour  $n \geq 1$  :

$$\begin{aligned} v_n &\leq |\delta|^{-1} \int_{\lambda^{-n+1}}^{\lambda^{-n+2}} |f(s)| ds \leq |\delta|^{-1} \lambda^{-n+1} (\lambda - 1) u_{n-1} \\ u_n &\leq u_{n-1} + v_n \\ u_{n-1} &\leq u_n + v_{n-1}. \end{aligned}$$

En particulier

$$|u_n - u_{n-1}| \leq |\delta|^{-1} \lambda^{-n+2} \max(u_{n-1}, u_{n-2}).$$

On peut alors utiliser le résultat du lemme 2 ci-dessous. On remarque enfin que cette construction définit de manière unique  $f$  sur chaque intervalle  $[\lambda^k, \lambda^{k+1}]$  pour  $k \in \mathbb{Z}$ .  $\square$

**Lemme 2.** Soit  $(u_n)_{n \in \mathbb{N}}$  une suite de réels telle qu'il existe  $\theta \in [0, 1[$  tel que

$$|u_{n+1} - u_n| \leq \theta^n \max_{0 \leq k \leq n} |u_k|.$$

Alors la suite  $u_n$  converge.

*Preuve du lemme 2.* Si nous montrons que  $(u_n)$  est bornée alors  $|u_{n+1} - u_n|$  est le terme général d'une série convergente, ce qui montrera que  $(u_n)$  est une suite de Cauchy.

Pour obtenir une borne sur  $u_n$  posons

$$u'_0 = |u_0| \quad \text{et} \quad u'_{n+1} = (1 + \theta^n) u'_n.$$

Alors

$$|u_n| \leq u'_n \leq u'_0 \prod_{k=0}^n (1 + \theta^k) \leq u'_0 \prod_{k=0}^{\infty} (1 + \theta^k).$$

Ce qui montre que  $(u'_n)$  est bornée et conclut la preuve.  $\square$

*Preuve du théorème 2.* Nous commençons par démontrer, l'annulation de  $f$ . Supposons que  $\lambda > 1$  et  $\delta > 0$ . Quitte à remplacer  $f(x)$  par  $f(\delta x)$ , on peut supposer  $\delta = 1$ .

L'équation  $(E_{\lambda, 1})$  permet d'écrire pour tous réels  $x, y$

$$f(y) - f(x) = \int_{\lambda x}^{\lambda y} f(t) dt.$$

Soit  $t \geq 1/(\lambda(\lambda - 1))$  tel que  $f(t) \neq 0$ . Quitte à changer  $f$  par  $-f$  on peut supposer que  $f(t) > 0$ . Supposons que  $f$  ne s'annule pas sur  $[t, (\lambda^3 + \varepsilon)t]$  pour un  $\varepsilon > 0$ . L'équation  $(E'_{\lambda, 1})$

montre que  $f$  est strictement croissante sur  $[t, (\lambda^2 + \varepsilon/\lambda)t]$ . On obtient alors que pour tout réel  $x \in [\lambda t, (\lambda + \varepsilon/\lambda^2)t]$  :

$$\begin{aligned} f(x) &> f(x) - f(t) && \text{car } f(t) > 0 \\ &= \int_{\lambda t}^{\lambda x} f(s) \, ds && \text{par l'équation fonctionnelle} \\ &\geq \int_x^{\lambda x} f(s) \, ds && \text{car } f \geq 0 \text{ sur } [\lambda t, x] \subset [t, (\lambda^2 + \varepsilon/\lambda)t] \\ &> (\lambda x - x)f(x) && \text{car } f \text{ croissante sur } [x, \lambda x] \subset [t, (\lambda^3 + \varepsilon)t]. \end{aligned}$$

On obtient une contradiction car  $x \geq \lambda t \geq 1/(\lambda - 1)$ . Ainsi  $f$  s'annule sur  $[t, (\lambda^3 + \varepsilon)t]$ . Par continuité de  $f$  et  $\varepsilon$  étant arbitraire,  $f$  s'annule sur  $[t, \lambda^3 t]$ .

Passons maintenant à la seconde partie du théorème. Soient  $f$  une solution périodique et  $T$  sa plus petite période :

$$T = \inf\{t > 0 ; \forall x > 0, f(x) = f(x + t)\}.$$

Alors pour tout entier  $n$  :

$$n \int_0^T f(t) \, dt = \int_0^{nT} f(t) \, dt = \delta \left( f\left(\frac{nT}{\lambda}\right) - f(0) \right).$$

Comme  $f$  est bornée, en passant à la limite sur  $n$ , on obtient que  $\int_0^T f(t) \, dt = 0$ .

Maintenant, si  $x$  est un réel positif on a

$$\begin{aligned} f(x) &= \frac{1}{\delta} \int_0^{\lambda x} f(t) \, dt + f(0) = \frac{1}{\delta} \int_T^{\lambda x + T} f(t) \, dt + \frac{1}{\delta} \int_0^T f(s) \, ds + f(0) \\ &= \frac{1}{\delta} \int_0^{\lambda x + T} f(s) \, ds + f(0) = f\left(x + \frac{T}{\lambda}\right). \end{aligned}$$

Comme  $\lambda > 1$  ceci contredit le fait que  $T$  est la plus petite période sauf si  $T = 0$ . □

*Preuve du théorème 3.* On sait par le théorème 2 que la solution  $f$  ne peut pas être périodique. Ainsi  $f_a \neq f_b$ . De plus, comme  $f_a(0) = f_b(0)$ , on a également  $f'_a \neq f'_b$ .

L'équation fonctionnelle peut se réécrire  $f'(t) = \frac{\delta}{\lambda} f(\lambda t)$ . Pour tout  $k \geq 0$  entier et tout  $x \in [0, \lambda]$  nous avons

$$f(\lambda^2 k + \lambda x) = \frac{\delta}{\lambda} f'(\lambda k + x) = \begin{cases} \frac{\delta}{\lambda} f'_a(x) & \text{si } w_k = a \\ \frac{\delta}{\lambda} f'_b(x) & \text{si } w_k = b. \end{cases}$$

Ainsi les valeurs de  $f$  sur le segment  $[\lambda^2 k, \lambda^2 k + \lambda^2]$  ne dépendent que de  $w_k$ . Comme  $f_a$  est distinct de  $f_b$ , et en considérant des positions  $k$  telles que  $w_k = a$  et  $w_k = b$ , on déduit qu'il existe deux mots finis  $\sigma_a$  et  $\sigma_b$  uniquement déterminés de longueur  $\lambda$  et tels que

$$\frac{\delta}{\lambda} f'_a(x) = f_{\sigma_a}(\lambda x) \quad \text{et} \quad \frac{\delta}{\lambda} f'_b(x) = f_{\sigma_b}(\lambda x).$$

On conclut alors que le mot  $w$  est point fixe de la substitution  $a \mapsto \sigma_a$  et  $b \mapsto \sigma_b$ . □

### 3 UN GROUPE NILPOTENT $G$ POUR LES SOMMES DE BIRKHOFF ITÉRÉES

Nous introduisons le groupe  $G$ , produit semi-direct de  $\mathbb{C}$  par  $\mathbb{C}^{\mathbb{N}}$ . Il peut être vu comme limite projective de groupes nilpotents  $G_\ell$  d'indice de nilpotence  $\ell$ . Nous explicitons par la suite le lien entre les sommes de Birkhoff et ce groupe.

3.1 *Définitions.* Soit  $V = \mathbb{C}^{\mathbb{N}^*}$  l'ensemble des suites complexes indicées à partir de 1. C'est un  $\mathbb{C}$ -espace vectoriel. On définit l'opérateur de décalage  $X : V \rightarrow V$  comme

$$X \cdot (s_1, s_2, \dots) = (0, s_1, s_2, \dots).$$

On note aussi  $V_\ell = X^\ell \cdot V$  l'ensemble des suites qui sont nulles à partir du rang  $\ell + 1$ .

L'espace vectoriel  $V$  est muni de la topologie produit. Pour cette topologie,  $X$  est continue. On dira qu'une application d'un  $\mathbb{C}$ -espace vectoriel  $W$  de dimension finie dans  $V$  est *polynomiale* si toutes ses coordonnées sont des polynômes. Une application polynomiale est continue.

Soit  $A = X + I$ . Cet opérateur agit sur les suites par :

$$A \cdot (s_1, s_2, s_3, \dots) = (s_1, s_2 + s_1, s_3 + s_2, \dots).$$

Si on identifie  $V$  aux séries formelles en  $X$  alors  $A$  est simplement la multiplication par  $1 + X$ .

Les puissances de  $A$  sont directement données par le binôme de Newton  $A^k = \sum_{i=0}^k \binom{k}{i} X^i$ . On peut écrire en coordonnées

$$A^k \cdot s = \left( \sum_{i=0}^k \binom{k}{i} s_{n+1-i} \right)_{n \geq 1}$$

où par convention  $s_i = 0$  si  $i \leq 0$ . Cette définition s'étend à tout nombre complexe  $\xi$  en posant

$$A^\xi = \sum_{i \geq 0} \binom{\xi}{i} X^i$$

où les coefficients binomiaux sont définis pour tout entier  $k \geq 0$  par

$$\binom{\xi}{k} = \frac{\xi(\xi-1)\cdots(\xi-k+1)}{k(k-1)\cdots 2 \cdot 1}.$$

On note  $G$  le produit semi-direct  $\mathbb{C} \rtimes V$  avec la multiplication

$$\langle \xi, s \rangle \cdot \langle \zeta, t \rangle = \langle \xi + \zeta, A^\zeta s + t \rangle.$$

Les sous-groupes  $V_\ell$  sont distingués dans  $G$  et on note  $G_\ell = G/V_{\ell+1}$ . On a plus précisément pour un élément  $v \in V$  et  $\langle z, s \rangle \in G$

$$\langle z, s \rangle^{-1} v \langle z, s \rangle = A^z v.$$

Le groupe  $G$  est une limite projective des  $G_\ell$ .

Le *commutateur* de deux éléments  $\langle \xi, s \rangle$  et  $\langle \zeta, t \rangle$  de  $G$  est

$$[\langle \xi, s \rangle, \langle \zeta, t \rangle] = \langle \xi, s \rangle^{-1} \langle \zeta, t \rangle^{-1} \langle \xi, s \rangle \langle \zeta, t \rangle.$$

Nous aurons souvent besoin des calculs suivants.

**Lemme 3.** Soient  $\xi, \zeta$  deux nombres complexes et  $s, t$  deux suites de  $V = \mathbb{C}^{\mathbb{N}^*}$ . Alors

$$\langle \xi, s \rangle^{-1} = \langle -\xi, -A^{-\xi} s \rangle \quad \text{et} \quad [\langle \xi, s \rangle, \langle \zeta, t \rangle] = \langle 0, (A^\zeta - I)s - (A^\xi - I)t \rangle.$$

En particulier,  $\langle \xi, s \rangle$  et  $\langle \zeta, t \rangle$  commutent si et seulement si  $(A^\zeta - I)s = (A^\xi - I)t$ .

*Preuve du lemme 3.* Soient  $\langle \xi, s \rangle$  et  $\langle \zeta, t \rangle$  deux éléments de  $G$ . Alors

$$\langle \xi, s \rangle \cdot \langle -\xi, -A^{-\xi} s \rangle = \langle 0, A^{-\xi} s - A^{-\xi} s \rangle = \langle 0, 0 \rangle.$$

Pour le commutateur, un calcul direct nous donne :

$$[\langle \xi, s \rangle, \langle \zeta, t \rangle] = \langle -\xi - \zeta, -A^{-\xi-\zeta} s - A^{-\zeta} t \rangle \langle \xi + \zeta, A^\zeta s + t \rangle = \langle 0, A^\zeta s + t - s - A^\xi t \rangle. \quad \square$$





Soit  $\mathbf{u}$  un élément de  $K$ . Nous associons à la paire  $(\varphi, \mathbf{u})$  sa *somme de Birkhoff* définie par

$$S_n^{(1)}(\varphi, \mathbf{u}) = \sum_{k=0}^{n-1} \varphi(T^k \mathbf{u}).$$

Si  $\varphi$  est la fonction  $\chi_a$ , alors  $S_n^{(1)}(\varphi, \mathbf{u})$  est le nombre de  $a$  dans le préfixe de  $\mathbf{u}_0 \mathbf{u}_1 \dots \mathbf{u}_{n-1}$  de  $\mathbf{u}$ . On définit par récurrence les *sommes de Birkhoff itérées* de  $\varphi$  par

$$S_n^{(\ell+1)}(\varphi, \mathbf{u}) = \sum_{k=0}^{n-1} S_k^{(\ell)}(\varphi, \mathbf{u}). \quad (1)$$

Soit  $\sigma$  une substitution positive et  $K_{\sigma, \mathbb{N}}$  le décalage associé. Le théorème suivant est un résultat classique de théorie ergodique. Nous renvoyons à [Py00] pour des détails.

**Proposition 4** (Unique ergodicité). *Soit  $\sigma$  une substitution positive et  $(K, T)$  le décalage associé. Alors il existe une unique mesure de probabilité  $\mu$  sur  $K$  invariante par  $T$ . De plus, pour toute fonction  $\varphi \in C(K)$ , pour tout  $\ell \geq 1$ , on a uniformément en  $\mathbf{u}$*

$$\lim_{n \rightarrow \infty} \binom{n}{\ell}^{-1} S_n^{(\ell)}(\varphi, \mathbf{u}) = \int_K \varphi d\mu.$$

L'énoncé ci-dessus est souvent écrit avec  $\ell = 1$ . La convergence pour  $\ell \geq 2$  découle directement du cas  $\ell = 1$  en remarquant que les moyennes au rang  $\ell + 1$  sont les moyennes de Cesàro ce celles au rang  $\ell$ .

Ce résultat montre que la première échelle d'approximation de  $S_n^{(\ell)}(\varphi, \mathbf{u})$  est  $\binom{n}{\ell} \int_K \varphi$ . Dans cet article, pour certaines substitutions et certaines fonctions, nous montrons que quitte à soustraire un polynôme, les sommes de Birkhoff restent bornées. Ce résultat est très spécifique et ne concerne pas toutes les substitutions. On trouvera une étude précise de la croissance des sommes de Birkhoff  $S_n^{(1)}$  pour une substitution quelconque dans [Ad04].

Nous faisons maintenant le lien avec l'opérateur  $A$  et le groupe  $G$  introduits dans la section 3.1. Pour chaque  $\ell$  et chaque  $n$ , on peut voir  $S_n^{(\ell)}$  comme un endomorphisme de  $C(K)$ . On note  $S_n = (S_n^{(1)}, S_n^{(2)}, S_n^{(3)}, \dots)$  vu comme opérateur de  $C(K)$  dans  $C(K)^{\mathbb{N}^*}$ . On plonge  $C(K)$  dans  $C(K)^{\mathbb{N}^*}$  via  $f \mapsto (f, 0, 0, \dots)$ . On définit deux opérateurs  $U_T$  et  $A$  sur  $C(K)^{\mathbb{N}^*}$  comme

$$U_T \cdot (\varphi_1, \varphi_2, \dots) = (\varphi_1 \circ T, \varphi_2 \circ T, \dots) \quad \text{et} \quad A \cdot (\varphi_1, \varphi_2, \dots) = (\varphi_1, \varphi_2 + \varphi_1, \varphi_3 + \varphi_2, \dots).$$

La notation  $A$  surcharge la définition que nous avons donnée sur  $V$  mais on a la compatibilité suivante. Pour tout mot  $\mathbf{u}$  dans  $K$  on a une projection  $e_{\mathbf{u}} : C(K)^{\mathbb{N}^*} \rightarrow V$  qui consiste à évaluer toutes les coordonnées en  $\mathbf{u}$ . On a alors pour tout  $\varphi$ ,  $e_{\mathbf{u}}(A\varphi) = A(e_{\mathbf{u}}(\varphi))$ . Notons que les opérateurs  $U_T$  et  $A$  commutent.

Étant donné  $\varphi = (\varphi_1, \varphi_2, \dots) \in C(K)^{\mathbb{N}^*}$  on peut lui associer ses sommes de Birkhoff en posant

$$S_0 = I \quad \text{et} \quad S_{n+1} = U_T^n + AS_n.$$

Bien entendu, si  $\varphi \in C(X)$  alors on retrouve la définition standard via le plongement  $C(K) \rightarrow C(K)^{\mathbb{N}^*}$

$$S_n(\varphi, \mathbf{u}) = (S_n^{(1)}(\varphi, \mathbf{u}), S_n^{(2)}(\varphi, \mathbf{u}), \dots).$$

**Lemme 5.** *On a*

$$S_n = \sum_{k=0}^{n-1} A^{n-k-1} U_T^k.$$

*En particulier, pour une fonction  $\varphi \in C(K)$  et un entier  $\ell \geq 0$  on a*

$$S_n^{(\ell)}(\varphi, \mathbf{u}) = \sum_{k=0}^{n-\ell} \binom{n-k-1}{\ell-1} \varphi(T^k \mathbf{u}).$$

Du fait de leur définition, les sommes de Birkhoff  $S_n$  peuvent être construites directement dans le groupe  $G$ . Étant donné  $\varphi \in C(K)$ , on définit  $\pi_\varphi : K \rightarrow G$  par

$$\pi_\varphi(\mathbf{u}) = \langle 1, (\varphi(\mathbf{u}), 0, 0, \dots) \rangle.$$

**Lemme 6.** Soit  $\mathbf{u} \in \mathcal{A}^{\mathbb{N}}$  et  $\varphi \in C(K)$  alors

$$\pi_\varphi(\mathbf{u})\pi_\varphi(T\mathbf{u}) \dots \pi_\varphi(T^{n-1}\mathbf{u}) = \langle n, S_n(\varphi, \mathbf{u}) \rangle = \langle n, (S_n^{(1)}(\varphi, \mathbf{u}), S_n^{(2)}(\varphi, \mathbf{u}), \dots) \rangle.$$

On démontre maintenant le lemme énoncé dans l'introduction qui dit que les quantités  $\delta_i$  sont bien définies.

*Preuve du lemme 1.* Pour tous réels  $\alpha, \beta$  on a  $S_n^{(i)}(\alpha\varphi + \beta, \mathbf{u}) = \alpha S_n^{(i)}(\varphi, \mathbf{u}) + \binom{n}{i}\beta$ . On en déduit donc que la quantité  $(S_\lambda^{(i)}(\varphi, \sigma(a)) - S_\lambda^{(i)}(\varphi, \sigma(b)))/(\varphi(a) - \varphi(b))$  est invariante par toute transformation affine  $\varphi \mapsto \alpha\varphi + \beta$ . Comme toutes les fonctions  $\varphi : \{a, b\} \rightarrow \mathbb{R}$  telles que  $\varphi(a) \neq \varphi(b)$  sont reliées entre elle par une relation affine, on en déduit le résultat.  $\square$

**Remarque 3.** Nous pouvons considérer la double suite  $(S_n^{(\ell)}(\varphi, \mathbf{u}))_{\ell, n}$  comme un triangle de Pascal généralisé, pour lequel la première colonne, constituée de 1 dans le triangle de Pascal, est remplacée par  $u_n = \varphi(T^n \mathbf{u})$  et dans lequel on applique la même règle de construction :

$n \setminus \ell$	0	1	2	3	4	5
0	$u_0$	0	0	0	0	0
1	$u_1$	$u_0$	0	0	0	0
2	$u_2$	$u_0 + u_1$	$u_0$	0	0	0
3	$u_3$	$u_0 + u_1 + u_2$	$2u_0 + u_1$	$u_0$	0	0
4	$u_4$	$u_0 + u_1 + u_2 + u_3$	$3u_0 + 2u_1 + u_2$	$3u_0 + u_1$	$u_0$	0
5	$u_5$	$u_0 + u_1 + u_2 + u_3 + u_4$	$4u_0 + 3u_1 + 2u_2 + u_3$	$6u_0 + 3u_1 + u_2$	$4u_0 + u_1$	$u_0$

3.4 Puissances dans  $G$ . Nous allons définir la puissance  $\xi$ -ième d'un élément  $\langle z, s \rangle$  de  $G$  pour tout nombre complexe  $\xi$ . Notons déjà que pour toute puissance entière  $k$  :

$$\langle 1, s \rangle^k = \left\langle \xi, (I + A + \dots + A^{k-1})s \right\rangle.$$

Posons pour tout entier  $k \geq 0$ ,

$$B(k) = I + A + \dots + A^{k-1} = \sum_{n \geq 0} \binom{k}{n+1} X^n.$$

Comme pour les puissances de  $A$ , on étend cette définition aux nombres complexes  $\xi$  non nuls en posant

$$B(\xi) = \sum_{n \geq 0} \binom{\xi}{n+1} X^n = \frac{A^\xi - 1}{A - 1} = \frac{A^\xi - 1}{X}.$$

Nous définissons pour tout complexe  $\xi$  la puissance  $\xi$ -ième d'un élément  $\langle z, s \rangle$  de  $G$  en posant

$$\langle z, s \rangle^\xi = \begin{cases} \langle z \xi, B(z\xi) B(z)^{-1} \cdot s \rangle = \left\langle z \xi, \frac{A^{z\xi} - 1}{A^z - 1} \cdot s \right\rangle & \text{si } z \neq 0 \\ \langle 0, \xi s \rangle & \text{si } z = 0 \end{cases}.$$

**Lemme 7.** *L'application  $(\langle z, s \rangle, \xi) \mapsto \langle z, s \rangle^\xi$  est continue. De plus, pour tout élément  $\langle z, s \rangle$  de  $G$  et tous nombres complexes  $\xi$  et  $\zeta$  :*

$$\langle z, s \rangle^{\xi+\zeta} = \langle z, s \rangle^\xi \cdot \langle z, s \rangle^\zeta.$$

*Soit  $\langle z, s \rangle$  un élément de  $G$  avec  $z$  non nul, alors l'ensemble des éléments de  $G$  qui commutent avec  $\langle z, s \rangle$  sont les éléments de la forme  $\langle z, s \rangle^\xi$  avec  $\xi \in \mathbb{R}$ .*

*Preuve du lemme 7.* Fixons un élément  $\langle z, s \rangle$  de  $G_\ell$ . L'application  $\xi \mapsto \langle z, s \rangle^\xi$  est continue de  $\mathbb{R}^*$  dans  $G$ . Nous allons montrer qu'elle se prolonge en 0 par la formule donnée dans le lemme.

Il nous suffit de montrer que pour tous les nombres complexes  $z$  et  $\xi$

$$B(z\xi) B(z)^{-1} \xrightarrow{m \rightarrow 0} \xi. \quad (2)$$

Pour cela, il suffit de remarquer que

$$\frac{A^{z\xi} - 1}{z} \xrightarrow{z \rightarrow 0} \xi.$$

Nous allons maintenant montrer la relation sur les puissances. Soit  $\xi, \zeta \in \mathbb{R}$  et  $\langle z, s \rangle \in G$ . Nous avons

$$\begin{aligned} \langle z, s \rangle^\xi \cdot \langle z, s \rangle^\zeta &= \langle z\xi, B(z\xi)B(z)^{-1}s \rangle \langle z\zeta, B(z\zeta)B(z)^{-1}s \rangle \\ &= \left\langle z(\xi + \zeta), \left( A^{z\zeta}B(z\xi) + B(z\zeta) \right) B(z)^{-1}s \right\rangle. \end{aligned}$$

Le résultat suit en remarquant que pour tous les nombres complexes  $\xi$  et  $\zeta$  on a

$$B(\xi + \zeta) = B(\xi) + A^\zeta B(\zeta).$$

D'après le lemme 3, deux éléments  $(z, s)$  et  $(z', t)$  de  $G$  commutent si et seulement si  $(A^{z'} - 1)s = (A^z - 1)t$ . Cette relation peut également s'écrire  $B(z')s = B(z)t$  et si  $z \neq 0$  on a  $t = B(z')B(z)^{-1}s$ . Autrement dit  $\langle z, s \rangle^{z'/z} = \langle z', t \rangle$ .  $\square$

*3.5 Sous-groupes discrets.* Notons  $\Gamma$  (respectivement  $\Gamma_\ell$ ) les éléments de  $G$  (resp.  $G_\ell$ ) dont tous les coefficients sont entiers. Autrement dit,  $\Gamma = \mathbb{Z} \times \mathbb{Z}^{\mathbb{N}}$  (resp.  $\Gamma_\ell = \mathbb{Z} \times \mathbb{Z}^\ell$ ).

Soit  $\mathbf{b} = \langle 1, 0 \rangle$ , et pour  $i \geq 1$ ,  $\mathbf{a}_i = \langle 0, X^{i-1} \cdot 1 \rangle$ . Remarquons que

$$\begin{aligned} [\mathbf{a}_i, \mathbf{b}] &= \langle 0, -X^{i-1} \rangle \langle -1, 0 \rangle \langle 0, X^{i-1} \cdot 1 \rangle \langle 1, 0 \rangle \\ &= \langle -1, -(1+X)^{-1}X^{i-1} \cdot 1 \rangle \langle 1, (1+X)X^{i-1} \cdot 1 \rangle \\ &= \langle 0, X^i \cdot 1 \rangle = \mathbf{a}_{i+1}. \end{aligned}$$

**Lemme 8.** *Avec les mêmes notations que ci-dessus. Le groupe  $\Gamma$  est isomorphe au groupe engendré par  $\mathbf{b}, \mathbf{a}_1, \mathbf{a}_2, \dots$  avec les relations*

1.  $\mathbf{a}_{n+1} = [\mathbf{a}_n, \mathbf{b}]$  pour  $n$ ,
2.  $[\mathbf{a}_i, \mathbf{a}_j] = 1$  pour tout  $i, j$ .

*Pour obtenir le groupe  $\Gamma_\ell$ , il suffit d'ajouter la relation  $\mathbf{a}_{\ell+1} = 1$ .*

*Preuve.* Soit  $H$  le groupe engendré par  $\mathbf{b}, \mathbf{a}_1, \mathbf{a}_2, \dots$  et les relations données dans l'énoncé. On construit un morphisme  $f : \Gamma \rightarrow H$  en envoyant l'élément  $\langle 1, 0 \rangle$  sur  $\mathbf{b}$  et  $\langle 0, X^{i-1} \cdot 1 \rangle$  sur  $\mathbf{a}_i$ . Il est par construction injectif car  $\Gamma$  vérifie les relations données dans le lemme.

Le morphisme inverse est construit de la manière suivante. En utilisant la relation  $\mathbf{a}_{n+1} = [\mathbf{a}_n, \mathbf{b}]$  qui se réécrit  $\mathbf{a}_n \mathbf{b} = \mathbf{b} \mathbf{a}_n \mathbf{a}_{n+1}$  et la commutation des éléments  $\mathbf{a}_i$ , tout élément de  $H_\ell$  peut se mettre sous la forme  $\mathbf{b}^m \mathbf{a}_1^{s_1} \mathbf{a}_2^{s_2} \mathbf{a}_3^{s_3} \dots \mathbf{a}_\ell^{s_\ell}$  où  $s_1, s_2, \dots, s_\ell, m \in \mathbb{Z}$ . Cet élément est bien sûr l'image de  $\langle m, (s_1, \dots, s_\ell) \rangle$  ce qui montre que  $f$  est surjectif.  $\square$

**Remarque 4.** Le groupe  $\Gamma_\ell$  est engendré par  $\mathbf{b}_1$  et  $\mathbf{a}$ . Pour  $\ell = 2$ , on obtient assez simplement la liste de relations

$$[\mathbf{a}_1, [\mathbf{a}_1, \mathbf{b}]] = 1 \quad \text{et} \quad [\mathbf{b}, [\mathbf{a}_1, \mathbf{b}]] = 1$$

qui sont les relations standards pour le groupe d'Heisenberg à coefficients entiers.

## 4 ENDOMORPHISMES DE $G$ ET SUBSTITUTIONS

On se donne une substitution  $\sigma$  et une fonction  $\varphi : \{a, b\} \rightarrow \mathbb{R}$  non constante. Le but de cette section est de définir un endomorphisme  $\mathcal{L} = \mathcal{L}_{\varphi, \sigma}$  qui permettent de traduire l'action de  $\sigma$  au niveau des sommes de Birkhoff. Plus précisément, nous construisons tout d'abord dans la section 4.1 un morphisme  $\pi_\varphi : \{a, b\}^* \rightarrow G$  (semblable à celui de la section 3.3) tel que pour tout mot fini  $u$

$$\pi_\varphi(u) = \langle |u|, S_{|u|}(\varphi, u) \rangle.$$

Nous construisons ensuite un endomorphisme  $\mathcal{L}_{\varphi, \sigma}$  de  $G$  tel que  $\pi_\varphi \circ \sigma = \mathcal{L}_{\varphi, \sigma} \circ \pi_\varphi$ .

*4.1 Projections du monoïde libre dans  $G$ .* Soit  $\varphi : \{a, b\} \rightarrow \mathbb{R}$  une fonction. On considère implicitement  $\varphi$  comme une fonction sur les mots infinis en posant  $\varphi(u) = \varphi(u_0)$ . À un mot fini  $u$  du monoïde libre généré par  $a$  et  $b$ , nous pouvons lui associer ses sommes de Birkhoff itérées (voir le lemme 6) :

$$\pi_\varphi(u) = \langle 1, \varphi(u_0) \rangle \langle 1, \varphi(u_1) \rangle \dots \langle 1, \varphi(u_{|u|-1}) \rangle = \langle |u|, S_{|u|}(\varphi, u) \rangle.$$

L'application  $\pi_\varphi$  ainsi définie est un morphisme :  $\pi_\varphi(uv) = \pi_\varphi(u)\pi_\varphi(v)$ .

En prenant  $\varphi = \chi_a$  on a par exemple

$bbbb$	$(4, (0, 0, 0, 0))$	$bbaa$	$(4, (2, 1, 0, 0))$	$baaa$	$(4, (3, 3, 1, 0))$
$bbba$	$(4, (1, 0, 0, 0))$	$baba$	$(4, (2, 2, 1, 0))$	$abaa$	$(4, (3, 4, 3, 1))$
$bbab$	$(4, (1, 1, 0, 0))$	$baab$	$(4, (2, 3, 1, 0))$	$aaba$	$(4, (3, 5, 4, 1))$
$babb$	$(4, (1, 2, 1, 0))$	$abba$	$(4, (2, 3, 3, 1))$	$aaab$	$(4, (3, 6, 4, 1))$
$abbb$	$(4, (1, 3, 3, 1))$	$abab$	$(4, (2, 4, 3, 1))$	$aaaa$	$(4, (4, 6, 4, 1))$
		$aabb$	$(4, (2, 5, 4, 1))$		

**Proposition 9.** *Soit  $\varphi : \{a, b\} \rightarrow \mathbb{R}$  telle que  $\varphi(a) \neq \varphi(b)$ . Alors l'application  $\pi_\varphi : \{a, b\}^* \rightarrow G$  est injective. De manière plus précise,  $\pi_\varphi$  est une injection de l'ensemble des mots de longueurs  $\ell$  dans  $G_\ell$ .*

*Preuve.* Si  $u$  et  $v$  n'ont pas la même longueur alors clairement  $\pi_\varphi(u) \neq \pi_\varphi(v)$ . On suppose alors que  $u$  et  $v$  ont même longueur et on procède par récurrence sur la longueur.

Le résultat est immédiat pour les mots  $a$  et  $b$  puisque nous avons supposé que  $\varphi(a) \neq \varphi(b)$ .

Supposons le résultat vrai pour les mots de longueurs plus petites ou égales à  $n - 1$ . Fixons alors deux mots  $u = u_0 \dots u_{n-1}$  et  $v = v_0 \dots v_{n-1}$  de longueur  $n$  tels que  $\pi_\varphi(u) = \pi_\varphi(v)$ .

On a  $S_n^{(n)}(\varphi, u) = \varphi(u_0)$  et  $S_n^{(n)}(\varphi, v) = \varphi(v_0)$ . Donc nécessairement, les deux mots commencent par la même lettre. Notons  $u' = u_1 \dots u_{n-1}$  et  $v' = v_1 \dots v_{n-1}$ . Par définition  $\pi_\varphi(u) = \pi_\varphi(u_0)\pi_\varphi(u')$  et donc l'égalité  $\pi_\varphi(u) = \pi_\varphi(v)$  entraîne que  $\pi_\varphi(u') = \pi_\varphi(v')$ . On peut alors appliquer l'hypothèse de récurrence pour déduire que  $u' = v'$  et donc que  $u = v$ .  $\square$

*4.2 Généralités sur les endomorphismes de  $G$ .* Dans cette section, nous classifions les endomorphismes des groupes  $G_\ell$  et du groupe  $G$  introduit dans la section 3.1. Rappelons que  $G$  est construit à partir de l'espace vectoriel des suites  $V = \mathbb{C}^{\mathbb{N}^*}$  et de l'opérateur  $A = 1 + X$ .

Un endomorphisme de  $G$  est une application  $\mathcal{L} : G \rightarrow G$  telle que

$$\mathcal{L}(\langle z, s \rangle \langle z', t \rangle) = \mathcal{L}(\langle z, s \rangle) \cdot \mathcal{L}(\langle z', t \rangle) \quad \text{et} \quad \mathcal{L}(\mathbf{0}) = \mathbf{0}.$$

Il est alors clair d'après le lemme 8 que pour tout réel  $\xi$ ,  $\mathcal{L}(\langle z, s \rangle^\xi) = \mathcal{L}(\langle z, s \rangle)^\xi$ .

Notons tout d'abord que l'endomorphisme intérieur  $\mathcal{L}(x) = \langle z, s \rangle^{-1} x \langle z, s \rangle$  vérifie

$$\mathcal{L}(\langle 1, 0 \rangle) = \langle 1, (I - A)s \rangle \quad \text{et} \quad \mathcal{L}(\langle 0, 1 \rangle) = \langle 0, A^z \rangle.$$

**Lemme 10.** Soit  $\mathcal{L} : G \rightarrow G$  un endomorphisme de  $G$ . Les quantités  $\lambda, \mu \in \mathbb{R}$  et  $\beta, \delta \in V$  telles que

$$\mathcal{L}(\langle 1, 0 \rangle) = \langle \lambda, \beta \rangle \quad \text{et} \quad \mathcal{L}(\langle 0, 1 \rangle) = \langle \mu, \delta \rangle$$

vérifient l'équation

$$(A^\mu - 1)\left((A^\lambda - 1)\delta - (A^\mu - 1)\beta\right) = 0. \quad (3)$$

Autrement dit, si  $\mu = 0$  il n'y a pas de condition, sinon il faut que  $(A^\lambda - 1)\delta = (A^\mu - 1)\beta$ .

Réciproquement, étant donné  $\lambda, \nu \in \mathbb{R}$  et  $\beta, \delta \in V$  vérifiant (3) il existe un unique endomorphisme  $\mathcal{L} : G \rightarrow G$  tel que  $\mathcal{L}\langle 1, 0 \rangle = \langle \lambda, \beta \rangle$  et  $\mathcal{L}\langle 0, 1 \rangle = \langle \mu, \delta \rangle$ .

En passant au quotient, on retrouve le cas  $\ell = 2$  de [Ge94].

*Preuve du lemme 10.* On sait que  $G$  est engendré par les deux éléments  $\mathbf{b} = \langle 1, 0 \rangle$  et  $\mathbf{a}_1 = \langle 0, 1 \rangle$  et leurs puissances. Donc leurs images par  $\mathcal{L}$  déterminent entièrement  $\mathcal{L}$ . Nous allons établir quelles relations doivent vérifier leurs images. Pour cela, nous commençons par calculer l'image de  $\mathbf{a}_n$  pour  $n \geq 2$ .

D'après le lemme 3, le commutateur d'un élément  $\langle r, w \rangle$  avec  $\langle \lambda, \beta \rangle$  est

$$[\langle \lambda, \beta \rangle, \langle r, w \rangle] = \langle 0, (A^r - 1)\beta - (A^\lambda - 1)w \rangle.$$

On en déduit  $\mathcal{L}(\mathbf{a}_1) = \langle \mu, \delta \rangle$ ,  $\mathcal{L}(\mathbf{a}_2) = \langle 0, (A^\lambda - 1)\delta - (A^\mu - 1)\beta \rangle$  et

$$\mathcal{L}(\mathbf{a}_n) = \left\langle 0, (A^\lambda - 1)^{n-2}((A^\lambda - 1)\delta - (A^\mu - 1)\beta) \right\rangle.$$

Il est alors clair que les images de  $\mathbf{a}_n$  commutent pour  $n \geq 2$ . La seule obstruction est donc  $\mathcal{L}([\mathbf{a}_1, \mathbf{a}_2]) = 1$  et un calcul explicite nous donne

$$[\mathcal{L}(\mathbf{a}_2), \mathcal{L}(\mathbf{a}_1)] = \langle 0, (A^\mu - 1)((A^\lambda - 1)\delta - (A^\mu - 1)\beta) \rangle.$$

D'où le résultat. □

*4.3 Endomorphismes associés aux sommes de Birkhoff.* Rappelons que nous voulons analyser les sommes de Birkhoff itérées d'une fonction  $\varphi : \{a, b\} \rightarrow \mathbb{R}$ . Nous avons vu en 3.3 que ces sommes de Birkhoff itérées peuvent être vues comme une projection du monoïde libre  $\{a, b\}^*$  dans le groupe  $G$ .

**Lemme 11.** Soit  $\sigma$  une substitution de longueur constante  $\lambda > 0$  sur  $\{a, b\}$  telle que  $\sigma(a) \neq \sigma(b)$ . Soit  $\varphi : \{a, b\} \rightarrow \mathbb{R}$  une fonction telle que  $\varphi(a) \neq \varphi(b)$ . Alors il existe un unique morphisme  $\mathcal{L} = \mathcal{L}_{\varphi, \sigma}$  tel que

$$\mathcal{L} \circ \pi_\varphi = \pi_\varphi \circ \sigma. \quad (4)$$

De plus, ce morphisme préserve  $V$  et plus précisément, pour tout  $n \geq 1$  on a :

$$\mathcal{L}(\mathbf{a}_n) = \left\langle 0, (A^\lambda - I)^{n-1}\delta \right\rangle,$$

où  $\delta = \delta(\sigma) = (\delta_1(\sigma), \delta_2(\sigma), \dots)$  est le vecteur défini dans le lemme 1.

Remarquons que l'action de  $\mathcal{L}$  sur  $V$  ne dépend pas de la fonction  $\varphi$  choisie.

*Preuve.* D'après le lemme 6, il faut et il suffit de construire un morphisme tel que

$$\mathcal{L}(\langle 1, \varphi(a) \rangle) = \langle \lambda, S(\varphi, \sigma(a)) \rangle \quad \text{et} \quad \mathcal{L}(\langle 1, \varphi(b) \rangle) = \langle \lambda, S(\varphi, \sigma(b)) \rangle.$$

Pour ce faire, on se ramène au lemme 10. On a,

$$\langle 1, \varphi(a) \rangle^{-1} \langle 1, \varphi(b) \rangle = \langle 0, \varphi(b) - \varphi(a) \rangle = \langle 0, 1 \rangle^{\varphi(b) - \varphi(a)}.$$

Donc

$$\langle 0, 1 \rangle = (\langle 1, \varphi(a) \rangle^{-1} \langle 1, \varphi(b) \rangle)^{1/(\varphi(b)-\varphi(a))}.$$

De la même façon on peut exprimer  $\langle 1, 0 \rangle$  à partir de  $\langle 1, \varphi(a) \rangle$  et  $\langle 1, \varphi(b) \rangle$  en utilisant  $\langle 1, 0 \rangle = \langle 1, \varphi(a) \rangle \langle 0, 1 \rangle^{-\varphi(a)}$ . On peut alors utiliser le lemme 10 en remarquant qu'on a un exemple dans lequel  $\mu = 0$ . En particulier,  $\mathcal{L}(V) \subset V$ . L'unicité vient de la construction car les éléments  $\langle 1, \varphi(a) \rangle$  et  $\langle 1, \varphi(b) \rangle$  et leurs puissances engendrent tout  $G$ .

La formule explicite sur  $V$  s'obtient d'une part en remarquant que

$$\mathcal{L}(\langle 0, \varphi(a) - \varphi(b) \rangle) = \langle 0, S(\varphi, \sigma(a)) - S(\varphi, \sigma(b)) \rangle = \langle 0, (\varphi(a) - \varphi(b))\delta \rangle$$

et en suivant les calculs du lemme 10. □

Soit  $\lambda > 0$ ,  $\beta, \delta \in V$ . On considère le morphisme  $\mathcal{L} = \mathcal{L}_{\lambda, \beta, \delta}$  qui vérifie

$$\mathcal{L}(\langle 1, 0 \rangle) = \langle \lambda, \beta \rangle \quad \text{et} \quad \mathcal{L}(\langle 0, 1 \rangle) = \langle 0, \delta \rangle.$$

Par la remarque 11 on a  $\mathcal{L}(\mathbf{a}_n) = \langle 0, (A^\lambda - 1)^{n-1} \delta \rangle$ . On obtient alors pour un élément  $\langle z, s \rangle$  de  $G$  l'expression suivante

$$\begin{aligned} \mathcal{L}(\langle z, s \rangle) &= \mathcal{L}(\mathbf{b}^z \mathbf{a}_1^{s_1} \dots \mathbf{a}_\ell^{s_\ell} \dots) \\ &= \langle \lambda, \beta \rangle^z \prod_{k=1}^{\infty} \langle 0, (A^\lambda - 1)^{k-1} \delta \rangle^{s_k} \\ &= \left\langle \lambda z, \left( \sum_{k=1}^{\infty} s_k (A^\lambda - 1)^{k-1} \right) \delta + B(\lambda z) B(\lambda)^{-1} \beta \right\rangle. \end{aligned}$$

Notons que la somme est bien valide car dans chaque coordonnée, la somme est finie. Pour le passage à la dernière ligne, on a utilisé les formules pour les puissances du lemme 7. Afin d'avoir une expression plus explicite, on introduit les polynômes  $q_{i,n}(\lambda)$  définis par :

$$q_{i,n}(\lambda) = \sum_{\substack{n_1 + \dots + n_i = n \\ n_1 \geq 1, \dots, n_i \geq 1}} \binom{\lambda}{n_1} \dots \binom{\lambda}{n_i}. \quad (5)$$

On pose également  $q_{0,0} = 1$  et  $q_{0,n} = 0$  si  $n > 0$  et  $q_{i,0} = 0$  si  $i > 0$ . De manière équivalente, nous pouvons définir les  $q_{i,n}(\lambda)$  par

$$(A^\lambda - 1)^i = \sum_{n=0}^{\infty} q_{i,n}(\lambda) X^n. \quad (6)$$

On a par exemple :

$i \setminus n$	0	1	2	3	4	5
0	1	0	0	0	0	0
1	0	$\lambda$	$\binom{\lambda}{2}$	$\binom{\lambda}{3}$	$\binom{\lambda}{4}$	$\binom{\lambda}{5}$
2	0	0	$\lambda^2$	$\lambda^3 - \lambda^2$	$\frac{7\lambda^4 - 18\lambda^3 + 11\lambda^2}{12}$	$\frac{3\lambda^5 - 14\lambda^4 + 21\lambda^3 - 10\lambda^2}{12}$
3	0	0	0	$\lambda^3$	$\frac{3}{2}(\lambda^4 - \lambda^3)$	$\frac{5\lambda^5 - 12\lambda^4 + 7\lambda^3}{4}$
4	0	0	0	0	$\lambda^4$	$2(\lambda^5 - \lambda^4)$
5	0	0	0	0	0	$\lambda^5$

**Proposition 12.** Pour tout entier  $n \geq 0$  on a

$$\binom{\lambda x}{n} = \sum_{i=0}^n q_{i,n}(\lambda) \binom{x}{i}.$$

Ou de manière équivalente

$$B(\lambda)^{-1} B(\lambda x) = \sum_{i=1}^{\infty} \binom{x}{i} (A^\lambda - 1)^{i-1}.$$

Avant d'entamer la preuve de cette proposition on en déduit une forme plus explicite pour le morphisme  $\mathcal{L}$ .

**Corollaire 13.** Soit  $\lambda \in \mathbb{R}$  et  $\beta, \delta \in V$ . Soit  $\mathcal{L}$  l'endomorphisme de  $G$  tel que  $\mathcal{L}(\langle 1, 0 \rangle) = \langle \lambda, \beta \rangle$  et  $\mathcal{L}(\langle 0, 1 \rangle) = \langle 0, \delta \rangle$ . Alors pour un élément  $\langle z, s \rangle$  de  $G$ , on a

$$\mathcal{L}(\langle z, s \rangle) = \left\langle \lambda z, \sum_{k=1}^{\infty} (A^\lambda - 1)^{k-1} \left( s_k \delta + \binom{z}{k} \beta \right) \right\rangle.$$

Ainsi, en écrivant  $\mathcal{L}\langle z, s \rangle = \langle \lambda z, t \rangle$  avec  $t = (t_1, t_2, \dots)$  on a pour tout  $k \geq 1$  l'expression

$$t_k = \sum_{j=1}^k \sum_{i=1}^{k-j+1} q_{j-1, k-i}(\lambda) \left( \delta_i s_j + \beta_i \binom{z}{j} \right).$$

*Preuve de la proposition 12.* Soit  $x$  entier. Nous avons d'une part

$$A^{\lambda x} = \sum_{k=0}^{+\infty} \binom{\lambda x}{k} X^k.$$

D'autre part, en écrivant  $(A^\lambda)^x$  on a

$$A^{\lambda x} = \sum_{n=0}^{\infty} \sum_{\substack{k_1 + \dots + k_x = k \\ k_1 \geq 0, \dots, k_x \geq 0}} \binom{m}{k_1} \dots \binom{m}{k_x} X^k = \sum_{k=0}^{\infty} \sum_{j=0}^x \binom{x}{j} q_{j,k}(\lambda) X^k.$$

Comme  $\binom{x}{j}$  s'annule pour  $x$  entier et  $j > x$  on a pour tout  $x$  entier

$$\binom{\lambda x}{k} = \sum_{j=0}^k \binom{x}{j} q_{j,k}(\lambda).$$

Comme les deux membres de l'équation ci-dessus sont polynomiaux en  $x$ , l'égalité est vérifiée pour tout  $x$  dans  $\mathbb{R}$ . Maintenant, en utilisant l'expression obtenue, nous pouvons réécrire

$$B(\lambda x) = \sum_{k=0}^{\infty} \left( \sum_{i=0}^k q_{i,k}(\lambda) \binom{x}{i} \right) X^{k-1} = \sum_{i=0}^{\infty} \left( \sum_{k=0}^{\infty} q_{i,k}(\lambda) X^{k-1} \right) \binom{x}{i} = \sum_{i=0}^{\infty} \binom{m}{i} \frac{(A^\lambda - 1)^i}{X}.$$

Et donc

$$B(\lambda)^{-1} B(\lambda x) = \frac{X}{A^\lambda - I} \sum_{i=0}^{\infty} \binom{m}{i} \frac{(A^\lambda - 1)^i}{X} = \sum_{i=0}^{\infty} \binom{m}{i} (A^\lambda - 1)^{i-1}. \quad \square$$

Nous pouvons déduire immédiatement de la proposition le corollaire suivant :

**Corollaire 14.** Soit  $\langle z, s \rangle$  un élément de  $G$  et soit  $\mathcal{L} : G \rightarrow G$  défini par  $\mathcal{L}(\langle 1, 0 \rangle) = \langle \lambda, \beta \rangle$  et  $\mathcal{L}(\langle 0, 1 \rangle) = \langle 0, \delta \rangle$ .

Si  $\delta_1 = 0$ , la deuxième coordonnée du  $j$ -ème coefficient de l'élément  $\mathcal{L}^{(n)}(\langle z, s \rangle)$  ne dépend que de  $(m, s_1, \dots, s_{j-n})$ .

*Preuve.* Le corollaire découle de la forme explicite de l'endomorphisme donnée dans le corollaire 13. La seconde partie s'obtient par récurrence sur  $n$ .  $\square$

Nous reviendrons dans la partie 6.1 sur les propriétés asymptotiques des polynômes  $q_{i,n}$ .



## 5 COBORDS ET APPROXIMATION POLYNOMIALE DES SOMMES ITÉRÉES

Le but de cette partie est d'introduire et d'étudier le comportement des sommes itérées qui nous permettrons de construire à la limite une solution à l'équation  $(E_{\lambda,\delta})$ . Pour cela nous étudions le comportement asymptotique des itérées des endomorphismes  $\mathcal{L}$  associés aux paires  $(\varphi, \sigma)$  où  $\varphi : \{a, b\} \rightarrow \mathbb{R}$  est une fonction et  $\sigma$  une substitution sur  $\{a, b\}$ . En effet, la puissance  $k$ -ème de  $\mathcal{L}$  est directement reliée à la valeur des sommes de Birkhoff de  $\varphi$  au temps  $n = \lambda^k$

*5.1 Approximation polynomiale.* Soit  $\lambda > 0$  et  $\beta, \delta \in V$ . Comme précédemment, on considère le morphisme  $\mathcal{L}$  tel que  $\mathcal{L}(\langle 1, 0 \rangle) = \langle \lambda, \beta \rangle$  et  $\mathcal{L}(\langle 0, 1 \rangle) = \langle 0, \delta \rangle$ . Afin d'étudier les puissances de l'endomorphisme  $\mathcal{L}$  on introduit des polynômes  $R_{i,n}(x)$  en posant pour  $i \geq 0$  :

$$\mathcal{L}^i(\langle x, (0, \dots, 0) \rangle) = \langle \lambda^i x, (R_{i,1}(x), R_{i,2}(x), R_{i,3}(x), \dots) \rangle. \quad (7)$$

Les  $R_{i,n}(x)$  sont bien des polynômes en  $x$  (dépendants des paramètres  $\beta, \delta$  et  $\lambda$ ) d'après la formule pour les puissances et le fait que  $\mathcal{L}^i(\langle x, 0 \rangle) = \left(\mathcal{L}^i(\langle 1, 0 \rangle)\right)^x$ . De plus, en écrivant  $\mathcal{L}^{i+1}(\langle x, 0 \rangle) = \mathcal{L}(\mathcal{L}^i(\langle x, 0 \rangle))$  on tire la relation de récurrence

$$(R_{i+1,1}(x), R_{i+1,2}(x), \dots) = \sum_{k=1}^{\infty} (A^\lambda - 1)^{k-1} \left( R_{i,k}(x)\delta + \binom{m}{k}\beta \right).$$

Commençons par exprimer les polynômes  $R_{i,n}$  pour  $i \geq n$  à l'aide des valeurs diagonales  $R_{i+1,i+1}(1/\lambda^{i+1})$ . Ces dernières peuvent être vues comme un vecteur propre de  $\mathcal{L}$  sur  $G$ .

**Proposition 15.** *Soit  $\lambda > 0$  et  $\beta \in V$  et  $\delta \in V_2$  (i.e.  $\delta = (0, \delta_2, \delta_3, \dots)$ ). Soit  $\mathcal{L}$  l'endomorphisme de  $G$  tel que  $\mathcal{L}\langle 1, 0 \rangle = \langle \lambda, \beta \rangle$  et  $\mathcal{L}\langle 0, 1 \rangle = \langle 0, \delta \rangle$ . On pose*

$$c_i = R_{i+1,i+1} \left( \frac{1}{\lambda^{i+1}} \right).$$

Alors pour tout  $i \geq 1$  et  $n \geq 0$  on a

$$R_{i+n,i}(x) = R_{i,i}(\lambda^n x) \quad \text{et} \quad R_{i,i}(x/\lambda^i) = \sum_{k=0}^{i-1} \binom{x}{i-k} c_k.$$

De plus

$$\mathcal{L}(\langle 1, (c_0, c_1, c_2, \dots) \rangle) = \langle 1, (c_0, c_1, c_2, \dots) \rangle^\lambda.$$

Pour la substitution de Prouet-Thue-Morse, les constantes  $c_i$  sont toutes égales à zéro. On verra dans la proposition suivante, que ceci implique que les sommes de Birkhoff itérées sont toutes bornées. Une autre conséquence est que la fonction limite  $f_w$  est nulle en zéro. Par contre pour les deux substitutions  $a \mapsto aab, b \mapsto baa$  et  $a \mapsto aab, b \mapsto aba$  ce n'est pas le cas.

	$c_0$	$c_1$	$c_2$	$c_3$	$c_4$	$c_5$
$a \mapsto aab, b \mapsto aba$	2/3	1/3	10/9	11	8567/27	718435/27
$a \mapsto aab, b \mapsto baa$	1/3	1/3	23/9	440/9	74431/27	455949

Preuve. On fixe un entier  $i$  et nous faisons les calculs dans  $G_i = G/V_{i+1}$ .

Comme  $\delta_1 = 0$  pour tout  $s = (s_1, s_2, \dots) \in V$  on a d'après le corollaire 14

$$\mathcal{L}^i(\langle z, s \rangle) = \langle \lambda^i z, (R_{i,1}(z), R_{i,2}(z), \dots, R_{i,i}(z)) \rangle.$$

En particulier,  $\mathcal{L}^i(\langle \lambda^n x, 0 \rangle) = \mathcal{L}^i \circ \mathcal{L}^n(\langle x, 0 \rangle)$  et donc

$$\langle \lambda^{i+n} x, (R_{i,1}(\lambda^n x), \dots, R_{i,i}(\lambda^n x)) \rangle = \langle \lambda^{i+n} x, (R_{i+n,1}(x), \dots, R_{i+n,i}(x)) \rangle.$$

Ce qui démontre la première équation.

Comme  $\mathcal{L}$  est un morphisme et  $\langle n, 0 \rangle = \langle 1/\lambda^i, 0 \rangle^{n\lambda^i}$  on a :

$$\begin{aligned}\mathcal{L}^i(\langle n, 0n \rangle) &= \langle n\lambda^i, (R_{i,1}(n), \dots, R_{i,i}(n)) \rangle \\ &= (\mathcal{L}^i(\langle 1/\lambda^i, 0 \rangle))^{n\lambda^i} \\ &= \langle 1, (R_{i,1}(1/\lambda^i), \dots, R_{i,i}(1/\lambda^i)) \rangle^{n\lambda^i}.\end{aligned}$$

En utilisant la formule pour les puissances, on obtient que pour tout  $1 \leq j \leq i$

$$R_{i,j}(n) = \sum_{k=1}^j \binom{n\lambda^i}{j-k+1} R_{i,k}(1/\lambda^i).$$

En utilisant la première équation on peut remplacer  $R_{i,k}(1/\lambda^i)$  par  $R_{k,k}(1/\lambda^k)$ . On trouve alors la seconde relation en prenant  $j = i$ .

Pour démontrer la dernière partie, remarquons tout d'abord que

$$\begin{aligned}\mathcal{L}^i\left(\left\langle \frac{1}{\lambda^i}, 0 \right\rangle\right) &= \langle 1, (R_{i,1}(1/\lambda^i), R_{i,2}(1/\lambda^i), \dots, R_{i,i}(1/\lambda^i)) \rangle \\ &= \langle 1, (R_{1,1}(1/\lambda), R_{2,2}(1/\lambda^2), \dots, R_{i,i}(1/\lambda^i)) \rangle \\ &= \langle 1, (c_0, c_1, \dots, c_{i-1}) \rangle.\end{aligned}$$

On a alors

$$\mathcal{L}(\langle 1, (c_0, c_1, \dots, c_{i-1}) \rangle) = \mathcal{L}^{i+1}(\langle 1/\lambda^i, 0 \rangle) = (\mathcal{L}^{i+1}(\langle 1/\lambda^{i+1}, 0 \rangle))^\lambda = \langle 1, (c_0, \dots, c_{i-1}) \rangle^\lambda. \quad \square$$

On se sert maintenant des polynômes  $R_{i,i}(x)$  pour redresser les sommes de Birkhoff. Soit  $\sigma$  une substitution de longueur constante  $\lambda$  telle que  $\delta_1(\sigma) = 0$ . Rappelons que cette condition signifie que  $\sigma(a)$  et  $\sigma(b)$  contiennent le même nombre de  $a$ . Soit  $\varphi : \{a, b\} \rightarrow \mathbb{R}$  une fonction non constante. On associe à la fonction  $\varphi$  et la substitution  $\sigma$  l'endomorphisme  $\mathcal{L} = \mathcal{L}_{\varphi, \sigma}$  de  $G$  défini dans la partie 4.3.

Soit  $R_{i,n}$  et  $c_i$  les polynômes et les constantes définis dans la proposition 15. On pose pour tout entier  $\ell \geq 1$  et tout réel  $x$  :

$$p_\ell(x) = \sum_{i=0}^{\ell} c_i \binom{x}{\ell-i} = R_{\ell, \ell}(x/\lambda^\ell) + c_\ell. \quad (8)$$

**Proposition 16.** *Soit  $\sigma$  une substitution de longueur constante  $\lambda$  telle que  $\delta_1(\sigma) = 0$ . Soient  $p_\ell$  les polynômes définis en (8). Alors, pour tout entier  $\ell \geq 1$  et tout mot  $\mathbf{u} \in \sigma^\ell(\{a, b\}^{\mathbb{N}})$  on a :*

- pour tout réel  $x$ ,  $p_\ell(x+1) - p_\ell(x) = p_{\ell-1}(x)$  ;
- pour tout entier  $n$ ,

$$(S_{n+1}^{(\ell)}(\varphi, \mathbf{u}) - p_\ell(n+1)) - (S_n^{(\ell)}(\varphi, \mathbf{u}) - p_\ell(n)) = S_{(n)}^{(\ell-1)}(\varphi, \mathbf{u}) - p_{\ell-1}(n). \quad (9)$$

- pour tout entier  $n$ ,

$$S_{n \cdot \lambda^\ell}^{(\ell)}(\varphi, \mathbf{u}) = p_\ell(n\lambda^\ell) - c_\ell. \quad (10)$$

- la suite  $(S_n^{(\ell)}(\varphi, \mathbf{u}) - p_\ell(n))_{n \geq 0}$  est bornée.

Preuve. Le premier point est immédiat par la définition des polynômes  $(p_\ell)_\ell$ . En effet pour tout nombre réel  $x$  et tout entier  $\ell \geq 1$  :

$$p_\ell(x+1) - p_\ell(x) = \sum_{i=0}^{\ell} c_i \binom{x+1}{\ell-i} - \sum_{i=0}^{\ell} c_i \binom{x}{\ell-i} = \sum_{i=0}^{\ell-1} c_i \binom{x}{\ell-1-i} = p_{\ell-1}(x).$$

Le deuxième point découle immédiatement.

On note  $\pi = \pi_\varphi$  et soit  $u_0 u_1 \dots = \sigma^\ell(v_0 v_1 \dots)$  un mot de  $\sigma^\ell(\{a, b\}^\mathbb{N})$ . On considère l'endomorphisme  $\mathcal{L} = \mathcal{L}_{\varphi, \sigma}$  du lemme 11. Fixons un entier  $n \geq 0$ . D'une part,  $\mathcal{L} \circ \pi = \pi \circ \sigma$ , et donc

$$\pi(u_0 \cdots u_{n\lambda^{\ell-1}}) = \pi \circ \sigma^\ell(v_0 \cdots v_{n-1}) = \mathcal{L}^\ell \circ \pi(v_0 \cdots v_{n-1}).$$

On a ainsi dans  $G_\ell$

$$\pi(u_0 \cdots u_{\lambda^\ell n-1}) = \langle n\lambda^\ell, (R_{\ell,1}(n), \dots, R_{\ell,\ell}(n)) \rangle$$

Par le lemme 6, nous obtenons

$$S_{n\lambda^\ell}^{(\ell)}(\varphi, u) = R_{\ell,\ell}(n) = p_\ell(n\lambda^\ell) - c_\ell.$$

Ce qui prouve (10).

Le dernier point est facile car les incréments de la suite  $(S_k^{(\ell)}(\varphi, u) - p_\ell(k))_{k \geq 0}$  sont en nombre fini, donc bornés.  $\square$

**Remarque 5.** Pour  $\ell = 2$ , nous pouvons interpréter le fait que  $S_{\lambda^2}^{(2)}(\varphi, \sigma^2(a)) = S_{\lambda^2}^{(2)}(\varphi, \sigma^2(b))$  de manière visuelle. Prenons pour simplifier la fonction  $\varphi = \chi_a$ . Nous associons à tout mot  $v = v_0 \cdots v_{n-1}$  une ligne brisée  $(X_k)_k$  dans  $\mathbb{R}^2$  définie par récurrence de la manière suivante. On pose  $X_0 = (0, 0)$  et supposons avoir construit la ligne brisée  $(X_0, \dots, X_{m_k})$  associée au mot  $v_0 \cdots v_{k-1}$ . Si  $v_k = a$ , on ajoute les deux termes  $X_{m_k} + (0, 1)$  et  $X_{m_k} + (1, 1)$  à notre suite. Si  $v_k = b$  on ajoute le terme  $X_{m_k} + (1, 0)$ .

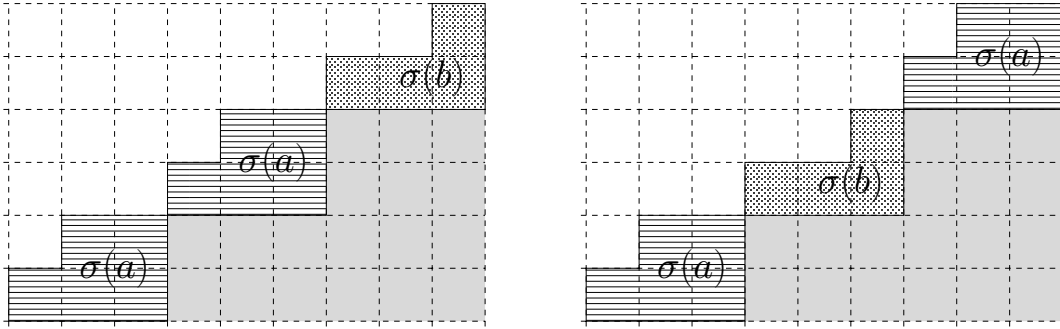


FIGURE 6 – Représentation de la ligne brisée pour  $\sigma : a \mapsto aab, b \mapsto aba$ .

Comme on peut le voir sur la figure 6, la hauteur de la ligne brisée au point  $k$  est  $S_k^{(1)}(\varphi, v)$  et  $S_k^2(\chi_a, v)$  est alors l'aire de la zone sous la ligne brisée. Les aires situées entre sous les lignes brisées jusqu'à l'abscisse  $k = 9 = \lambda^2$  sont égales.

**5.2 Cobords.** Dans cette section on revient sur les coefficients  $c_i$  de la proposition 15 et leur application au comportement moyen des sommes de Birkhoff dans la proposition 16. Nous montrons qu'un théorème plus général est vrai (dans le cadre d'un alphabet quelconque). On montre également comment ce phénomène de sommes de Birkhoff bornées s'articule avec la notion de cobord.

On fixe un décalage  $K \subset \mathcal{A}^\mathbb{N}$  ou  $K \subset \mathcal{A}^\mathbb{Z}$ .

Une fonction continue  $\varphi : X \rightarrow \mathbb{R}$  est un *cobord continu* s'il existe une fonction continue  $\psi : X \rightarrow \mathbb{R}$  telle que  $\varphi = \psi \circ T - \psi$ . Autrement dit, la fonction  $\varphi$  est dans l'image de l'opérateur  $U_T - I : \psi \mapsto \psi \circ T - \psi$ . Si  $\varphi$  est un cobord, alors la fonction  $\psi$  telle que  $\varphi = \psi \circ T - \psi$  est déterminée à une constante près. Si  $\varphi$  est un cobord, alors sa somme de Birkhoff se réécrit simplement en fonction de  $\psi : S_n^{(1)}(\varphi, u) = \psi(T^n u) - \psi(u)$ . En particulier, la suite  $S_n^{(1)}(\varphi, u)$  est bornée. La réciproque est vraie, c'est le théorème de Morse-Hedlund : si  $K$  est minimal, une fonction  $\varphi : K \rightarrow \mathbb{R}$  dont la somme de Birkhoff est bornée est un cobord continu.

Nous dirons que la fonction  $\varphi$  est *un cobord infini* s'il existe une constante  $\psi_0$  et une suite de fonctions continues  $(\psi_n)_{n \geq 1}$  telle que  $\varphi + \psi_0 = \psi_1 \circ T - \psi_1$  et pour tout entier  $n \geq 1$ ,

$$\psi_n = \psi_{n+1} \circ T - \psi_{n+1}.$$

Autrement dit, la fonction  $\varphi$  est à une constant près dans  $\bigcap_{m \geq 0} (U_T - I)^m \mathcal{C}(K)$ . La suite de fonctions  $(\psi_n)_n$  est unique et pour tout entier  $n \geq 1$ , la moyenne de  $\psi_n$  selon toute mesure  $T$ -invariante  $\mu$  est nulle. Avec ces notations, si  $\varphi$  est un cobord infini, alors pour tout  $\mathbf{u} \in X$  on a

$$S_n^{(1)}(\varphi, \mathbf{u}) = \psi_1 \circ T^n(\mathbf{u}) - \psi_1(\mathbf{u}) - n\psi_0,$$

$$S_n^{(2)}(\varphi, \mathbf{u}) = S_n^{(1)}(\psi_1, \mathbf{u}) - n\psi_1(\mathbf{u}) = \psi_2(T^n \mathbf{u}) - \psi_2(\mathbf{u}) - n\psi_1(\mathbf{u}) - \binom{n}{2}\psi_0$$

$$S_n^{(3)}(\varphi, \mathbf{u}) = S_n^{(1)}(\psi_2, \mathbf{u}) - n\psi_2(\mathbf{u}) - \binom{n}{2}\psi_1(\mathbf{u}) = \psi_3(T^n \mathbf{u}) - \psi_3(\mathbf{u}) - n\psi_2(\mathbf{u}) - \binom{n}{2}\psi_1(\mathbf{u}) - \binom{n}{3}\psi_0.$$

On déduit aisément par récurrence que pour tout  $\ell \geq 0$ ,

$$S_n^{(k)}(\varphi, \mathbf{u}) = \psi_k(T^n \mathbf{u}) - \sum_{j=0}^k \binom{n}{k-j} \psi_j(\mathbf{u}). \quad (11)$$

Et plus généralement pour  $i \geq 1$  et  $k \geq 0$  on a

$$S_n^{(k)}(\psi_i, \mathbf{u}) = \psi_{i+k}(T^n \mathbf{u}) - \sum_{j=1}^k \binom{n}{k-j} \psi_{i+j}(\mathbf{u}). \quad (12)$$

En particulier, si on note  $p_{\ell, \mathbf{u}}(n) = \sum_{k=0}^{\ell} \binom{n}{\ell-k} \psi_k(\mathbf{u})$ , alors  $S_n^{(\ell)}(\varphi, \mathbf{u}) - p_{\ell, \mathbf{u}}(n) = \psi_{\ell}(T^n \mathbf{u})$  est une suite bornée. Autrement dit, les sommes de Birkhoff itérées sont à distance bornée des valeurs d'un polynôme. Et il est facile de voir que  $p_{\ell, T\mathbf{u}}(n) = p_{\ell, \mathbf{u}}(n+1)$ .

Dans la section précédente,  $\mathcal{A} = \{a, b\}$  et nous travaillions avec une fonction  $\varphi$  ne dépendant que de la première lettre d'un mot, sur un décalage  $K_\sigma$  provenant d'une substitution. Les constantes  $c_i$  obtenues dans la proposition 16 vérifient alors  $c_i = -\psi_i(\mathbf{w})$ . Notons que dans ce cas, les  $c_i$  déterminent entièrement les fonctions  $\psi_i$

Dans cette section, nous montrons que la proposition 16 se généralise de la manière suivante.

**Proposition 17.** *Soit  $\mathcal{A}$  un alphabet fini et  $v = (v_\alpha)_{\alpha \in \mathcal{A}}$  un vecteur d'entiers strictement positifs. Soit  $\sigma$  une substitution sur  $\mathcal{A}$  telle que pour chaque couple de lettres  $\alpha, \beta \in \mathcal{A}$ ,  $\sigma(\alpha)$  contienne  $v_\beta$  fois la lettre  $\beta$ . Autrement dit, l'image de chacune des lettres a le même abélianisé  $v$ . On note  $\lambda = \sum_{\alpha \in \mathcal{A}} v_\alpha$  la longueur de la substitution. Alors toute fonction  $\varphi : \mathcal{A} \rightarrow \mathbb{R}$  de moyenne nulle est un cobord infini sur le décalage  $(K_\sigma, T)$ .*

Pour une lettre  $\alpha$ , on note  $[\alpha] = \{\mathbf{u} \in K_{\sigma, \mathbb{Z}} ; \mathbf{u}_0 = \alpha\}$ . Pour  $0 \leq m < \lambda^k$ , notons  $\text{Cyl}(k, m, \alpha) = T^m \sigma^k([\alpha])$ . Pour chaque entier  $k \geq 0$ ,  $K_\sigma$  se décompose de la manière suivante :

$$K_\sigma = \bigcup_{\alpha \in \mathcal{A}} \bigcup_{0 \leq m < \lambda^k} \text{Cyl}(k, m, \alpha). \quad (13)$$

Si  $\sigma$  est une substitution positive, deux cas peuvent se produire : soit  $K_{\sigma, \mathbb{Z}}$  est un ensemble fini (auquel cas tous les mots de  $K_{\sigma, \mathbb{Z}}$  sont périodiques) soit  $K_{\sigma, \mathbb{Z}}$  est infini et alors la décomposition (13) est une réunion disjointe (voir [Mo96]). Le premier cas apparaît par exemple lorsque toutes les images de  $\sigma$  sont identiques. Le théorème étant élémentaire pour les mots périodiques nous supposons que  $K_{\sigma, \mathbb{Z}}$  est infini.

On note  $F^k$  l'ensemble des fonctions de  $K_\sigma$  dans  $\mathbb{R}$  qui sont constantes sur chaque  $\text{Cyl}(k, m, \alpha)$  et  $F_0^k$  les fonctions de  $F^k$  de moyenne nulle.

Le théorème ci-dessus se déduit du lemme suivant.

**Lemme 18.** Soit  $\sigma$  une substitution sur  $\mathcal{A}$  vérifiant les mêmes hypothèses que celles du théorème 17. Soit  $\varphi \in F_0^k$ . Alors  $\varphi$  est un cobord et si  $\psi$  est telle que  $\varphi = \psi \circ T - \psi$  alors  $\psi$  appartient à  $F^{k+1}$ . Autrement dit,

$$F_0^k \subset (U_T - I)(F_0^{k+1}).$$

Ce lemme se déduit lui-même du résultat suivant

**Lemme 19.** Avec les mêmes hypothèses que dans le théorème 17. Pour tout  $k, m, \alpha$ ,

$$\mu(\text{Cyl}(k, m, \alpha)) = \frac{v_\alpha}{\lambda^{k+1}}.$$

D'autre part, si  $\varphi \in F^k$  alors pour tout  $\alpha$  et tout  $\mathbf{u} \in \text{Cyl}(k+1, 0, \alpha)$  on a

$$\sum_{m=0}^{\lambda^{k+1}-1} \varphi(T^m \mathbf{u}) = \int_{K_\sigma} \varphi d\mu,$$

où on rappelle que  $\mu$  est l'unique mesure de probabilité sur  $K_\sigma$  invariante par  $T$ .

Preuve. Comme la mesure  $\mu$  est invariante,  $\mu(\text{Cyl}(k, m, \alpha)) = \mu(\text{Cyl}(0, m, \alpha))$ . On note  $\mu_k$  la mesure définie pour tout ensemble mesurable  $Y$  par

$$\mu_k(Y) = \mu(T^k \sigma(Y)).$$

Alors  $\mu_0, \mu_1, \dots, \mu_{\lambda-1}$  sont à supports disjoints et  $\mu_0 + \mu_1 + \dots + \mu_{\lambda-1}$  est une mesure invariante dont il est facile de voir que c'est une mesure de probabilité. Par unique ergodicité, elle est égale à  $\mu$  et on en déduit que pour tout ensemble mesurable  $Y \subset K_\sigma$

$$\mu(\sigma(Y)) = \frac{\mu(Y)}{\lambda}.$$

Ceci prouve la première partie du lemme.

La seconde partie découle du fait que chaque image de  $\sigma$  a le même abélianisé.  $\square$

*Preuve du lemme 18.* Soit  $\varphi \in F_0^k$ , prenons  $\mathbf{u} \in \text{Cyl}(k+1, 0, \alpha)$  et posons pour  $m < |\sigma|^{k+1}$ ,  $\psi(T^m \mathbf{u}) = S_m^{(1)}(\varphi, \mathbf{u})$ . La fonction  $\psi$  s'étend de manière unique en une fonction de  $F^{k+1}$ . D'après la seconde partie du lemme 19, on a pour tout  $\mathbf{u} \in \text{Cyl}(k+1, 0, \alpha)$ , et pour tout  $m \geq 0$ ,  $\psi(T^m \mathbf{u}) = S_m^{(1)}(\varphi, \mathbf{u})$ . Et donc pour tout  $\mathbf{u} \in K_\sigma$ ,  $S_m^{(1)}(\varphi, \mathbf{u}) = \psi(T^m \mathbf{u}) - \psi(\mathbf{u})$ .  $\square$

**Remarque 6.** Le théorème 17 ne se généralise pas simplement à d'autres substitutions. Les fonctions qui ne dépendent que de la première lettre et qui sont des cobords se lisent sur la matrice d'incidence de la substitution (voir [Ad04]). Par exemple, pour les mots sturmiens sur  $\{a, b\}$  (qui sont des codages de rotations et dont certains sont substitutifs), il est bien connu que les fonctions  $\chi_a - \mu([a])$  et  $\chi_b - \mu([b])$  sont des cobords : il existe  $\alpha$  tel que

$$\left| S_n^{(1)}(\chi_a, \mathbf{u}) - k\alpha \right| \quad \text{est bornée.}$$

Cependant, il est montré dans [Pi00] que pour tout paramètre  $\beta$ ,

$$\left| S_n^{(2)}(\chi_a, \mathbf{u}) - \alpha \binom{n}{2} - \beta n \right| \quad \text{n'est pas bornée.}$$

Plus généralement, l'étude des sommes de Birkhoff itérées pour un système substitutif est un sujet intéressant et assez peu développé mais sortant du cadre de cet article.

5.3 *Une remarque sur le mot de Prouet-Thue-Morse.* La section précédente pourrait laisser penser que toutes les fonctions continues sont des cobords. Dans cette section, nous montrons que la plupart des fonctions sur le décalage  $K_\sigma$  associé au mot de Prouet-Thue-Morse et qui dépendent des deux premières lettres ne sont pas des cobords. Ce résultat est un corollaire des travaux de B. Adamczewski [Ad04].

Rappelons, que le mot de Prouet-Thue-Morse est un point fixe de la substitution  $\sigma : a \mapsto ab, b \mapsto ba$ . Pour étudier les sommes de Birkhoff des fonctions sur deux lettres, il suffit de considérer la substitution associée aux mots de deux lettres. En notant  $A = aa, B = ab, C = ba$  et  $D = bb$  il s'agit de

$$\sigma_2 : A \mapsto BC \quad B \mapsto BD \quad C \mapsto CA \quad D \mapsto CB.$$

On obtient le mot de Prouet-Thue-Morse en prenant le point fixe de  $\sigma_2$  commençant par  $B$  et en projetant sur l'alphabet  $\{a, b\}$  via le morphisme  $\tau : A, B \mapsto a$  et  $C, D \mapsto b$ .

Les sommes de Birkhoff de  $\chi_A$  sur le décalage  $K_{\sigma_2, \mathbb{Z}}$  sont égales à celles de la fonction  $\chi_{aa}$  sur le décalage  $K_{\sigma, \mathbb{Z}}$  où

$$\chi_{aa}(\mathbf{u}) = \begin{cases} 1 & \text{si } u_0 u_1 = aa \\ 0 & \text{sinon.} \end{cases}$$

Plus précisément, pour tout mot  $\mathbf{u} \in K_{\sigma_2, \mathbb{Z}}$  nous avons  $S_n(\chi_A, \mathbf{u}) = S_n(\chi_{aa}, \tau(\mathbf{u}))$ .

Les valeurs propres de la matrice d'incidence de  $\sigma_2$  sont 2, 0, 1 et -1. Chacune d'elles est associée à une fonction qui dépend d'au plus deux lettres

$$\varphi_2 = 1 \quad \varphi_0 = \chi_a - \chi_b \quad \varphi_1 = \chi_{ab} - \chi_{ba} \quad \varphi_{-1} = 2(\chi_{aa} + \chi_{bb}) - (\chi_{ab} + \chi_{ba}).$$

Ce sont des vecteurs propres à gauche pour la matrice d'incidence : pour  $\alpha = 2, 0, 1, -1$  et tout  $n$  entier on a

$$S_{2n}(f_\alpha, \sigma(\mathbf{u})) = \alpha S_n(f_\alpha, \mathbf{u}).$$

En appliquant le critère de [Ad04] on obtient.

**Proposition 20.** *Soit  $F = \mathbb{R}\chi_{aa} \oplus \mathbb{R}\chi_{ab} \oplus \mathbb{R}\chi_{ba} \oplus \mathbb{R}\chi_{bb} = \mathbb{R}\varphi_2 \oplus \mathbb{R}\varphi_0 \oplus \mathbb{R}\varphi_1 \oplus \mathbb{R}\varphi_{-1}$  les fonctions qui dépendent d'au plus deux lettres sur le décalage de Prouet-Thue-Morse. Alors l'ensemble des cobords est  $\mathbb{R}\varphi_0 \oplus \mathbb{R}\varphi_1$ . En particulier, pour tout mot de deux lettres  $\mathbf{v}$  et toute constante  $c$  la fonction  $\chi_{\mathbf{v}} - c$  n'est pas un cobord.*

Remarquons que la raison pour laquelle le théorème 17 ne s'applique pas est que les cylindre  $[v]$  ne se décompose pas simplement sur les cylindres  $\text{Cyl}(k, m, \alpha)$ . Par exemple, pour  $[aa]$ , on peut écrire

$$[aa] = T\sigma^2(b) \cup T^3\sigma^2(bb)$$

dont on déduit que

$$[aa] = \text{Cyl}(2, 1, b) \cup \text{Cyl}(4, 9, a) \cup \text{Cyl}(8, 21, b) \cup \dots$$

## 6 ASYMPTOTIQUES

Dans cette section nous étudions en détail les polynômes  $q_{i,n}(\lambda)$  intervenant dans les morphismes  $\mathcal{L}$ , en particulier certaines valeurs asymptotiques. On en déduit alors le comportement des coefficients  $c_\ell$  et des polynômes  $R_{i,n}$  introduits dans la section 5.1.

6.1 *Polynômes  $q_{i,n}(\lambda)$ .* Le principal outil de cette section va être la récurrence suivante.

**Lemme 21.** *Les polynômes  $q_{i,n}$  vérifient*

$$q_{1,n} = \binom{\lambda}{n}, \quad q_{n,n} = \lambda^n, \quad q_{n,n+1} = \frac{\lambda-1}{2} n \lambda^n.$$

et pour  $2 \leq i \leq n$

$$q_{i,n+1} = \frac{\lambda i}{n+1} q_{i-1,n} + \frac{\lambda i - n}{n+1} q_{i,n}.$$

Preuve. En dérivant en  $X$  l'égalité de séries formelles

$$(A^\lambda - 1)^i = \sum_{n \geq 0} q_{i,n} X^n$$

on obtient

$$nq_{i,n} = i \sum_{m=1}^{n-1} m \binom{\lambda}{m} q_{i-1,n-m}. \quad (14)$$

Ainsi, en écrivant  $\binom{\lambda}{m+1} = \frac{\lambda-m+1}{m} \binom{\lambda}{m}$ , on a

$$\begin{aligned} nq_{i,n} &= i \sum_{m=1}^{n-1} m \binom{\lambda}{m} q_{i-1,n-m} = \lambda i q_{i-1,n-1} + i \sum_{m=2}^{n-1} m \binom{\lambda}{m} q_{i-1,n-m} \\ &= \lambda i q_{i-1,n-1} + i \sum_{m=1}^{n-2} (m+1) \binom{\lambda}{m+1} q_{i-1,n-m-1} \\ &= \lambda i q_{i-1,n-1} + i \sum_{m=1}^{n-2} (\lambda - m) \binom{\lambda}{m} q_{i-1,n-m-1} \\ &= \lambda i q_{i-1,n-1} + i \lambda \sum_{m=1}^{n-2} \binom{\lambda}{m} q_{i-1,n-m-1} - i \sum_{m=1}^{n-2} m \binom{\lambda}{m} q_{i-1,n-m-1} \\ &= \lambda i q_{i-1,n-1} + \lambda i q_{i,n-1} - i \sum_{\alpha_1 + \dots + \alpha_i = n-1} \alpha_1 \binom{\lambda}{\alpha_1} \dots \binom{\lambda}{\alpha_i}. \end{aligned}$$

On conclut en utilisant à nouveau (14). □

**Proposition 22.** *Pour tout  $i \geq 1$ , on a lorsque  $n \rightarrow \infty$*

$$q_{n,n+i}(\lambda) \underset{n}{\sim} \frac{(\lambda-1)^i}{2^i i!} n^i \lambda^n. \quad (15)$$

**Remarque 7.** Pour  $i \geq 1$ , on peut montrer par récurrence qu'il existe des polynômes  $P_i \in \mathbb{Q}[\lambda, n]$  tel que

$$q_{n,n+i}(\lambda) = \frac{\lambda^n (\lambda-1)^i}{i! 2^i} P_i(\lambda, n).$$

De plus

$$P_i(\lambda, n/(\lambda+1)) = n^i + a_1^{(i)}(\lambda) n^{i-1} + \dots + a_{i-2}^{(i)}(\lambda) n^2 + a_{i-1}^{(i)}(\lambda) n.$$

où  $a_k^{(i)} \in \mathbb{Q}[\lambda]$  est de degré  $k$ .

Par exemple :

$$P_1\left(\lambda, \frac{n}{\lambda+1}\right) = n$$

$$P_2\left(\lambda, \frac{n}{\lambda+1}\right) = n^2 + 1/3(\lambda-3)n$$

$$P_3\left(\lambda, \frac{n}{\lambda+1}\right) = n^3 + (\lambda-3) n^2 + 2(-\lambda+1)n$$

$$P_4\left(\lambda, \frac{n}{\lambda+1}\right) = n^4 + 2(\lambda-3) n^3 + \left(\frac{1}{3}\lambda^2 - 10\lambda + 11\right) n^2 + \left(-\frac{2}{15}\lambda^3 - \frac{14}{15}\lambda^2 + \frac{62}{5}\lambda - 6\right) n.$$

Preuve. Posons

$$Q_{i,n} = \frac{n(n+1)\dots(n+i-1)}{\lambda^n} q_{n,n+i}.$$

Alors,  $Q_{0,n} = q_{n,n} = \lambda^n$  et la récurrence du lemme 21 nous donne

$$Q_{i+1,n} = Q_{i+1,n-1} + (n(\lambda - 1) - i)Q_{i,n}.$$

On en extrait la formule

$$Q_{i+1,n} = \sum_{m=0}^n (m(\lambda - 1) - i)Q_{i,m}. \quad (16)$$

On démontre maintenant par récurrence que  $Q_{i,n} \sim (\lambda - 1)^i n^{2i} / (2^i i!)$ . Cette formule est vraie pour  $i = 0$ , supposons la vraie jusqu'au rang  $n$ . Alors, en utilisant la formule (16) on trouve

$$Q_{i+1,n} \sim (\lambda - 1) \sum_{m=0}^n m Q_{i,m} \sim \frac{(\lambda - 1)^{i+1}}{2^i i!} \sum_{m=0}^n m^{2i+1} \sim \frac{(\lambda - 1)^{i+1}}{2^i i!} \frac{n^{2i+2}}{2i+2}$$

En revenant à  $q_{n,n+i}$ , on obtient le résultat.  $\square$

**Lemme 23.** *Soit  $\lambda$  un entier supérieur ou égal à 1. Alors*

$$\sup\{q_{i,j}(\lambda) ; 1 \leq i \leq j \leq n\} \leq (2\lambda - 1)^n.$$

Preuve. Notons  $A_n = \sup\{q_{i,j}(\lambda); 1 \leq i \leq j \leq n\}$ . Nous montrons ce résultat par récurrence. On a  $A_1 = |q_{1,1}(\lambda)| = \lambda$ . Fixons un entier  $n$  et  $i \in \{2, \dots, n\}$ , alors :

$$\begin{aligned} q_{i,n+1}(\lambda) &= \frac{\lambda i}{n+1} q_{i-1,n}(\lambda) + \frac{\lambda i - n}{n+1} q_{i,n}(\lambda) \leq \frac{\lambda n}{n+1} A_n + \lambda \frac{\lambda - 1}{n+1} A_n \\ &\leq \frac{n}{n+1} (2\lambda - 1) A_n = (2\lambda - 1)(2\lambda - 1)^n = (2\lambda - 1)^{n+1}. \end{aligned}$$

D'autre part le résultat est aussi vrai pour  $q_{n+1,n+1}(\lambda) = \lambda^{n+1}$  ce qui termine la preuve.  $\square$

**6.2 Comportement asymptotique diagonal.** Soit  $\lambda$  un réel positif,  $\beta \in V$  et  $\delta \in (V_2 \setminus V_3)$  (i.e.  $\delta_1 = 0$  et  $\delta_2 \neq 0$ ). Soit  $\mathcal{L}$  le morphisme de  $G$  tel que  $\mathcal{L}(\langle 1, 0 \rangle) = \langle \lambda, \beta \rangle$  et  $\mathcal{L}(\langle 0, 1 \rangle) = \langle 0, \delta \rangle$ . On a alors  $\mathcal{L}(V) \subset V_2$ .

Dans cette section nous étudions le comportement de  $\mathcal{L}$  restreint à  $V$ . Pour cette raison, les éléments de  $V$  seront directement écrits  $(s_1, s_2, \dots)$  plutôt que  $\langle 0, (s_1, s_2, \dots) \rangle$ .

Si  $s = (s_1, \dots, s_n, \dots) \in V$ , nous notons  $s^{(k)} = X^{-k} \mathcal{L}^k s$  autrement dit

$$\mathcal{L}^k(s) = \left( \underbrace{0, \dots, 0}_{k \text{ fois}}, s_1^{(k)}, s_2^{(k)}, \dots \right).$$

Comme  $\delta_1 = 0$ , ces éléments sont bien définis et  $s_n^{(k)}$  ne dépend que de  $s_1, s_2, \dots, s_n$  (voir corollaire 14).

**Proposition 24.** *Soit  $\lambda > 0$ ,  $\beta \in V$  et  $\delta \in V_2 \setminus V_3$ . Soit  $\mathcal{L}$  le morphisme de  $G$  tel que  $\mathcal{L}(\langle 1, 0 \rangle) = \langle \lambda, \beta \rangle$  et  $\mathcal{L}(\langle 0, 1 \rangle) = \langle 0, \delta \rangle$ .*

*Il existe une fonction  $\Phi_\ell : V \rightarrow \mathbb{R}$  linéaire et qui ne dépend que des  $\ell$  premières coordonnées telle que pour tout  $s \in V$  on ait*

$$s_\ell^{(n)} = \Phi_\ell(s) \delta_2^n \lambda^{\frac{(n+\ell-1)(n+\ell-2)}{2}} + o_n \left( \delta_2^n \lambda^{\frac{(n+\ell-1)(n+\ell-2)}{2}} \right).$$

De plus,  $\Phi_\ell(\mathbf{b}_\ell) = 1$  et

$$s_1^{(n)} = s_1 \delta_2^n \lambda^{n(n-1)/2} \quad \text{et} \quad s_2^{(n)} = s_2 + \sum_{m=0}^{n-1} \lambda^{-n-1} \left( \frac{n(\lambda-1)}{2} + \frac{\delta_3}{\delta_2} \right).$$

En particulier

$$\Phi_1(s) = s_1 \quad \text{et} \quad \Phi_2(s) = s_2 + \frac{1}{\lambda-1} \left( \frac{1}{2} + \frac{\delta_3}{\delta_2} \right) s_1.$$



Preuve. Comme nous n'utilisons que la restriction de l'endomorphisme  $\mathcal{L}$  sur  $V \subset G$  on écrira plus simplement  $\mathcal{L}(v)$  pour  $\mathcal{L}(\langle 0, v \rangle)$ .

Nous prouvons le résultat général par récurrence sur  $\ell$ . Nous commençons par étudier  $s_1^{(n)}$  et  $s_2^{(n)}$  pour lesquels tout est explicite.

**Cas  $\ell = 1$  et  $\ell = 2$  :**

Par la forme explicite de  $\mathcal{L}$  (voir corollaire 13), on a

$$\mathcal{L}(s) = \left( 0, \delta_2 s_1, \delta_3 s_1 + \lambda \delta_2 s_2, s_3^{(1)}, s_4^{(1)}, \dots \right)$$

Donc  $s_1^{(1)} = \delta_2 s_1$  et  $s_2^{(1)} = \delta_3 s_1 + \lambda \delta_2 s_2$ . En appliquant à nouveau  $\mathcal{L}$  on trouve

$$\mathcal{L}^2(s) = \left( 0, 0, \lambda \delta_2 s_1^{(1)}, \left( \binom{\lambda}{2} \delta_2 + \lambda \delta_3 \right) s_1^{(1)} + \lambda^2 \delta_2 s_2^{(1)}, s_3^{(2)}, s_4^{(2)}, \dots \right)$$

Nous trouvons donc  $s_1^{(2)} = \lambda \delta_2^2 s_1$  et  $s_2^{(2)} = \left( \binom{\lambda}{2} \delta_2 + \lambda \delta_3 \right) s_1^{(1)} + \lambda^2 \delta_2 s_2^{(1)}$ . On montre alors simplement par récurrence que

$$s_1^{(n+1)} = \delta_2 q_{n,n} s_1^{(n)} = \delta_2 \lambda^n s_1^{(n)} \quad \text{et} \quad s_2^{(n+1)} = (q_{n,n+1} \delta_2 + q_{n,n} \delta_3) s_1^{(n)} + q_{n+1,n+1} \delta_2 s_2^{(n)}. \quad (17)$$

Ainsi  $s_1^{(n)} = s_1 \delta_2^n \lambda^{\frac{n(n-1)}{2}}$ . Pour l'étude de  $s_2^{(n)}$ , posons

$$y_n = \frac{s_2^{(n)}}{\delta_2^n \lambda^{n(n+1)/2}}.$$

En divisant la relation de récurrence pour  $s_2^{(n)}$  on obtient

$$y_{n+1} = y_n + \frac{1}{\delta_2^{n+1} \lambda^{(n+1)(n+2)/2}} (q_{n,n+1} \delta_2 + q_{n,n} \delta_3) s_1^{(n)} = y_n + \frac{q_{n,n+1} \delta_2 + q_{n,n} \delta_3}{\delta_2 \lambda^{2n+1}} s_1$$

où on a utilisé  $\frac{(n+1)(n+2)}{2} - (n+1) = \frac{n(n+1)}{2}$  et  $\frac{(n+1)(n+2)}{2} - \frac{n(n-1)}{2} = 2n+1$ . Maintenant, nous savons que  $q_{n,n}(\lambda) = \lambda^n$  et  $q_{n,n+1}(\lambda) = \frac{n}{2}(\lambda-1)\lambda^n$ . Nous trouvons alors

$$\frac{q_{n,n+1} \delta_2 + q_{n,n} \delta_3}{\delta_2 \lambda^{2n+1}} = \frac{1}{\delta_2 \lambda^{2n+1}} \left( \frac{n}{2}(\lambda-1)\lambda^n \delta_2 + \lambda^n \delta_3 \right) = \frac{1}{\lambda^{n+1}} \left( \frac{n}{2}(\lambda-1) + \frac{\delta_3}{\delta_2} \right).$$

La série de terme général  $\lambda^{-n-1} \left( \frac{n}{2}(\lambda-1) + \frac{\delta_3}{\delta_2} \right)$  est sommable et donc la suite  $(y_n)_n$  converge vers

$$\Phi_2(s) = s_2 + s_1 \sum_{m=0}^{\infty} \lambda^{-n-1} \left( \frac{n}{2}(\lambda-1) + \frac{\delta_3}{\delta_2} \right) = s_2 + \frac{1}{\lambda-1} \left( \frac{1}{2} + \frac{\delta_3}{\delta_2} \right) s_1.$$

**Passage de  $\ell - 1$  à  $\ell$ .** Pour le cas général, on établit d'abord une relation de récurrence similaire à (17) qui exprime  $s_\ell^{(n)}$  sous la forme d'une série. Nous utilisons ensuite l'estimation asymptotique des  $q_{n,n+i}$  pour conclure qu'elle converge.

D'après la forme explicite de  $\mathcal{L}$  (voir corollaire 13), on trouve

$$s_\ell^{(n+1)} = \sum_{j=1}^{\ell} \sum_{i=1}^{\ell-j+1} q_{j+n-1, n+\ell-i} \delta_i s_j^{(n)}. \quad (18)$$

Posons

$$y_n = \frac{s_\ell^{(n)}}{\delta_2^n \lambda^{(n+\ell-1)(n+\ell-2)/2}}.$$

Le coefficient de  $s_\ell^{(n)}$  dans la relation (18) est  $q_{n+\ell-1, n+\ell-1} = \lambda^{n+\ell-1}$ . En remarquant que  $\binom{n+\ell}{2} - \binom{n+\ell-1}{2} = n + \ell - 1$  et en divisant la relation (18) par  $\delta_2^{n+1} \lambda^{\binom{n+\ell}{2}}$ , nous trouvons :

$$y_{n+1} = y_n + \frac{1}{\delta_2^{n+1} \lambda^{\binom{n+\ell}{2}}} \sum_{j=1}^{\ell-1} \left( \sum_{i=1}^{\ell-j+1} q_{j+n-1, n+\ell-i} \delta_i \right) s_j^{(n)}.$$

Nous voulons montrer que la série de terme général  $y_{n+1} - y_n$  converge. Cette série est elle-même d'une somme d'un nombre fini de termes. Nous allons étudier chacun de ces termes et montrer qu'ils sont sommables. Fixons  $j \in \{1, \dots, \ell-1\}$  et  $i \in \{1, \dots, \ell-j+1\}$  et étudions le comportement asymptotique de la suite

$$z_n = \frac{1}{\delta_2^{n+1} \lambda^{(n+\ell-1+1)(n+\ell-2+1)/2}} q_{j+n-1, n+\ell-i} \delta_i s_j^{(n)}.$$

D'après l'hypothèse de récurrence,  $z_n$  est égal à :

$$q_{j+n-1, n+\ell-i} \delta_i \left( \Phi_j(s) \frac{\delta_2^n \lambda^{\binom{n+j-1}{2} + \binom{n+j-2}{2}}}{\delta_2^{n+1} \lambda^{(n+\ell-1+1)(n+\ell-2+1)/2}} + o \left( \frac{\delta_2^n \lambda^{\binom{n+j-1}{2} + \binom{n+j-2}{2}}}{\delta_2^{n+1} \lambda^{(n+\ell-1+1)(n+\ell-2+1)/2}} \right) \right).$$

Nous pouvons immédiatement simplifier cette expression en remarquant que

$$\binom{n+\ell}{2} - \binom{n+j-1}{2} = n(\ell-j+1) + j' \text{ avec } j' = (\ell^2 - \ell - j^2 + 2j + j - 2)/2.$$

Donc

$$z_n = q_{j+n-1, n+\ell-i} \delta_i \left( \Phi_j(s) \frac{1}{\delta_2 \lambda^{n(\ell-j+1)+j'}} + o \left( \frac{1}{\delta_2 \lambda^{n(\ell-j+1)+j'}} \right) \right).$$

Nous avons vu dans la section 6.1 le comportement asymptotique de la suite  $q_{j+n-1, n+\ell-i}(\lambda)$ . D'après la proposition 22, nous trouvons :

$$q_{j+n-1, n+\ell-i}(\lambda) = q_{n+\ell-i-(\ell-j+1), n+\ell-i}(\lambda) \underset{n \rightarrow +\infty}{\sim} \frac{(n+\ell-i)^{\ell-j+1}}{2^{\ell-j+1} (\ell-j+1)!} \left( \frac{\lambda-1}{\lambda} \right)^{\ell-j+1} \lambda^{n+\ell-i}.$$

Donc, nous obtenons l'équivalent suivant :

$$q_{j+n-1, n+\ell-i}(\lambda) \underset{n}{\sim} A n^{\ell-j+1} \lambda^n \quad \text{avec} \quad A = \frac{\lambda^{\ell-i}}{2^{\ell-j+1} (\ell-j+1)!} \left( \frac{\lambda-1}{\lambda} \right)^{\ell-j+1}.$$

Soit encore,

$$z_n = \Phi_j(s) \frac{A n^{\ell-j+1} \lambda^n}{\delta_2 \lambda^{n(\ell-j+1)+j'}} + o \left( \frac{A n^{\ell-j+1} \lambda^n}{\delta_2 \lambda^{n(\ell-j+1)+j'}} \right) = \Phi_j(s) \frac{A n^{\ell-j+1}}{\delta_2 \lambda^{n(\ell-j)+j'}} + o \left( \frac{A n^{\ell-j+1}}{\delta_2 \lambda^{n(\ell-j)+j'}} \right).$$

La suite  $(y_n)_n$  converge donc vers un réel  $\Phi_\ell(s)$ . Puisque  $y_n$  est la somme de  $s_\ell$  et d'une combinaison linéaire de  $\Phi_j(s)$ , la fonction  $\Phi_\ell(s)$  est bien linéaire en  $s_1, \dots, s_\ell$ , et le coefficient de  $s_\ell$  est 1.

Ce qui finit la démonstration du résultat.  $\square$

**6.3 Asymptotiques des sommes de Birkhoff et des polynômes d'approximation.** On montre dans cette section deux applications de la proposition 24 qui nous permettront de contrôler la taille des sommes de Birkhoff et des polynômes d'approximation  $R_{i,j}$ .

**Corollaire 25.** Soit  $\sigma$  une substitution  $\lambda$ -uniforme telle que  $\delta_1(\sigma) = 0$  et  $\delta_2 = \delta_2(\sigma) \neq 0$ . Soit  $\varphi : \{a, b\} \rightarrow \mathbb{R}$  telle que  $\varphi(a) \neq \varphi(b)$ . Soit  $R_{i,j}$  les polynômes d'approximation de la section 5.1. Alors pour tout mot fini  $u_0 u_1 \dots u_{m-1}$  et tout entier  $k \geq 0$ ,

$$\lim_{n \rightarrow \infty} \frac{S_{m\lambda^n}^{(n+k)}(\varphi, \sigma^n(u)) - R_{n, n+k}(m)}{\delta_2^n \lambda^{(n+k-1)(n+k-2)/2}}$$

converge vers  $\Phi_k(S_m(\varphi, \mathbf{u}))$  lorsque  $n$  tend vers  $+\infty$ .

Pour tout entier  $k$  et tout réel  $x$ ,

$$\frac{R_{n+k, n+k}(x) - R_{n, n+k}(\lambda^k x)}{\delta_2^n \lambda^{(n+k-1)(n+k-2)/2}}$$

converge vers  $\Phi_k((R_{k,1}(x), R_{k,2}(x), \dots))$  lorsque  $n$  tend vers  $+\infty$ .

Preuve du corollaire 25. Par construction, on a

$$\mathcal{L}^n \circ \pi(\mathbf{u}_0 \dots \mathbf{u}_{m-1}) = \langle m\lambda^n, S_{m\lambda^n}^{(n)}(\varphi, \sigma^n(\mathbf{u})) \rangle$$

et

$$\mathcal{L}^n(\langle m, 0 \rangle) = \langle m\lambda^n, (R_{1,n}(m), R_{2,n}(m), \dots) \rangle.$$

Maintenant, remarquons que dans  $G$  on a  $\langle z, s \rangle^{-1} \langle z, t \rangle = \langle 0, s - t \rangle$ . En particulier

$$\begin{aligned} \mathcal{L}^n(\langle m, 0 \rangle^{-1} \pi(\mathbf{u})) &= \langle m\lambda^n, (R_{n,1}(m), R_{n,2}(m), \dots) \rangle^{-1} \langle m\lambda^n, S_{m\lambda^n}(\varphi, \sigma^n(\mathbf{u})) \rangle \\ &= \langle 0, S_{m\lambda^n}(\varphi, \sigma^n(\mathbf{u})) - (R_{n,1}(m), R_{n,2}(m), \dots) \rangle. \end{aligned}$$

Il suffit alors, d'appliquer la proposition 24.

On montre la seconde partie de manière similaire. Soit  $x$  un réel. Alors :

$$\begin{aligned} \mathcal{L}^n \circ \mathcal{L}^k(\langle x, 0 \rangle) &= \langle \lambda^{n+k} x, (R_{n+k,1}(x), \dots, R_{n+k,j}(x), \dots) \rangle \\ \mathcal{L}^n(\langle \lambda^k x, 0 \rangle) &= \langle \lambda^{n+k} x, (R_{n,1}(\lambda^k x), \dots, R_{n,j}(\lambda^k x), \dots) \rangle. \end{aligned}$$

On peut alors écrire

$$\begin{aligned} \mathcal{L}^n(\langle 0, (R_{k,1}(x), R_{k,2}(x), \dots) \rangle) &= \mathcal{L}^n \circ \mathcal{L}^k(\langle x, 0 \rangle \langle \lambda^k x, 0 \rangle^{-1}) \\ &= \langle 0, (R_{n+k,1}(x) - R_{n,1}(\lambda^k x), R_{n+k,2}(x) - R_{n,2}(\lambda^k x), \dots) \rangle. \end{aligned}$$

Il suffit d'appliquer la proposition 24 pour conclure.  $\square$

**6.4 Coefficients  $c_\ell$ .** Soient  $\lambda$  un entier,  $\beta \in V$  et  $\delta \in V_2 \setminus V_3$ . Comme auparavant, on leur associe un endomorphisme  $\mathcal{L}$ . On suppose ici que  $\beta$  et  $\delta$  ont des coefficients nuls à partir du rang  $\lambda + 1$ . C'est le cas lorsque  $\mathcal{L}$  est associé à une paire  $(\varphi, \sigma)$  de fonctions  $\varphi : \{a, b\}^* \rightarrow \mathbb{R}$  et d'une substitution  $\sigma$  de longueur constante  $\lambda$ . On notera  $\|\delta\| = \sup\{|\delta_i|; 1 \leq i\}$ .

Nous reprenons les polynômes  $R_{i,j}$  et les nombres  $c_\ell$  introduit dans la proposition 15. Rappelons qu'ils sont définis

$$\mathcal{L}^i(\langle x, 0 \rangle) = \langle \lambda^i x, (R_{i,1}(x), R_{i,2}(x), R_{i,3}(x), \dots) \rangle.$$

et qu'on pose alors

$$c_i = R_{i+1, i+1} \left( \frac{1}{\lambda^{i+1}} \right).$$

Nous allons montrer le résultat suivant :

**Proposition 26.** *Soit  $c_i$  comme ci-dessus. Alors, la suite  $(c_\ell \cdot \delta_2^{-\ell} \lambda^{-(\ell-1)(\ell-2)/2})_{\ell \geq 0}$  converge.*

Preuve. Fixons un entier  $\ell \geq \lambda$ . Commençons par rappeler la relation de la proposition 15 :

$$\mathcal{L}(\langle 1, (c_0, c_1, c_2, \dots) \rangle) = \langle 1, (c_0, c_1, c_2, \dots) \rangle^\lambda.$$

D'après la forme explicite de l'endomorphisme  $\mathcal{L}$  (corollaire 13), nous trouvons pour  $\ell > \lambda$  :

$$\begin{aligned} \lambda c_\ell + \binom{\lambda}{2} c_{\ell-1} + \dots + \binom{\lambda}{\ell+1} c_0 &= \lambda^{\ell-1} \delta_2 c_{\ell-1} + \sum_{j=1}^{\ell-1} \sum_{i=1}^{\ell-j+2} q_{j-1, \ell+1-i} \delta_i c_{j-1} \\ &= \lambda^{\ell-1} \delta_2 c_{\ell-1} + \sum_{j=2}^{\ell-1} \sum_{i=2}^{\ell-j+2} q_{j-1, \ell+1-i} \delta_i c_{j-1}. \end{aligned}$$

La seconde égalité est dûe au fait que  $q_{0,i} = 0$  si  $i > 0$ . La double somme se majore avec le lemme 23 :

$$\begin{aligned}
\left| \sum_{j=1}^{\ell-1} \sum_{i=2}^{\ell-j+2} q_{j-1,\ell+1-i} \delta_i c_{j-1} \right| &\leq \|\delta\| \cdot \sup_{1 \leq j \leq \ell-2} |c_j| \cdot \sum_{j=1}^{\ell-1} \sum_{i=2}^{\ell-j+2} q_{j-1,\ell+1-i} \\
&\leq \|\delta\| \cdot \sup_{1 \leq j \leq \ell-2} |c_j| \cdot \left( \sum_{k=0}^{\ell-2} q_{k,\ell-1} + \sum_{r=0}^{\ell-2} \sum_{k=0}^r q_{k,r} \right) \\
&\leq \|\delta\| \cdot \sup_{1 \leq j \leq \ell-2} |c_j| \cdot \left( \ell - 1 + \binom{\ell}{2} \right) (2\lambda - 1)^{\ell-1} \\
&\leq \|\delta\| \cdot \sup_{1 \leq j \leq \ell-2} |c_j| \cdot \binom{\ell+1}{2} (2\lambda - 1)^{\ell-1}.
\end{aligned}$$

Pour l'autre partie, on utilise simplement :

$$\left| \binom{\lambda}{2} c_{\ell-1} + \cdots + \binom{\lambda}{\ell+1} c_0 \right| \leq 2^\lambda \sup_{0 \leq j \leq \ell-1} |c_j|.$$

Nous trouvons donc :

$$|\lambda c_\ell - \lambda^{\ell-1} \delta_2 c_{\ell-1}| \leq \|\delta\| \binom{\ell+1}{2} (2\lambda - 1)^{\ell-1} \sup_{1 \leq j \leq \ell-2} |c_j| + \sup_{1 \leq j \leq \ell-1} |c_j| \cdot 2^\lambda. \quad (19)$$

Notons  $\tilde{c}_j = c_j \cdot \delta_2^{-j} \lambda^{-(j-1)(j-2)/2}$ . Nous avons

$$\left| \frac{c_j}{\delta_2^\ell \lambda^{(\ell-1)(\ell-2)/2}} \right| = \frac{|\tilde{c}_j|}{|\delta_2|^{\ell-j} \lambda^{(\ell-1)(\ell-2)/2 - (j-1)(j-2)/2}} \leq \frac{|\tilde{c}_j|}{\lambda^{(\ell-1)(\ell-2)/2 - (j-1)(j-2)/2}}.$$

En divisant la relation (19) par  $\delta_2^\ell \lambda^{(\ell-1)(\ell-2)/2}$ , on obtient alors

$$|\tilde{c}_\ell - \tilde{c}_{\ell-1}| \leq \|\delta\| \binom{\ell+1}{2} \frac{(2\lambda - 1)^{\ell-1}}{\lambda^{2\ell-1}} \sup_{0 \leq j \leq \ell-2} |\tilde{c}_j| + \frac{2^\lambda}{\lambda^{\ell-1}} \sup_{0 \leq j \leq \ell-1} |\tilde{c}_j|$$

car pour  $1 \leq j \leq \ell-2$  :  $\binom{\ell-1}{2} - \binom{j-1}{2} = \ell + \ell - 1 + \binom{\ell-3}{2} - \binom{j-1}{2} \geq 2\ell - 1$  et  $\binom{\ell-1}{2} - \binom{\ell-2}{2} = \ell - 1$ .

Maintenant, si  $\theta$  est tel que  $\frac{2\lambda-1}{\lambda^2} < \theta < 1$  alors pour  $\ell$  assez grand on a

$$|\tilde{c}_\ell - \tilde{c}_{\ell-1}| \leq \theta^\ell \sup_{1 \leq j \leq \ell-1} |\tilde{c}_j|.$$

On peut alors conclure en utilisant le lemme 2. □

## 7 PREUVE DU THÉORÈME

On se donne une substitution  $\sigma$  de longueur constante  $\lambda$  telle que  $\delta_1(\sigma) = 0$ ,  $\delta_2(\sigma) \neq 0$  et admettant un point fixe  $\mathbf{w} = \mathbf{w}_0 \cdots \mathbf{w}_n \cdots$ . Soit  $\varphi : \{a, b\} \rightarrow \mathbb{R}$  une fonction non constante. Nous allons définir une suite de fonctions en escalier  $(f^{(\ell)})_{\ell \geq 1}$  qui convergera vers la fonction  $f_{\mathbf{w}, \varphi} = f_{\mathbf{w}}$  du théorème.

On reprend les constantes  $c_i$  de la section 5.1 et la suite de fonctions  $\psi_i : K_\sigma \rightarrow \mathbb{R}$  de la section 5.2 telles que

$$\psi_0 = - \int \varphi, \quad \varphi + \psi_0 = \psi_1 \circ T - \psi_1 \quad \text{et} \quad \psi_n = \psi_{n+1} \circ T - \psi_{n+1}.$$

Et  $c_i$  vérifient  $c_i = -\psi_i(\mathbf{w})$ . Rappelons qu'on a un lien direct entre ces fonctions et les sommes de Birkhoff via

$$\psi_i(T^n \mathbf{w}) = S_n^{(i)}(\varphi, \mathbf{w}) - p_i(n) \quad \text{où} \quad p_i(n) = \sum_{k=0}^i \binom{n}{i-k} c_k.$$

On définit une suite de fonctions  $f^{(i)} : \mathbb{R} \rightarrow \mathbb{R}$  par

$$f_w^{(i)}(x) = \frac{\psi_i(T^m \mathbf{w})}{\delta_2^{i-1} \lambda^{(i-1)(i-2)/2}} \quad \text{avec } m = \lfloor \lambda^{i-1} x \rfloor.$$

Pour des entiers  $i \geq 0$  et  $0 \leq m < i$  et une lettre  $\alpha$ , on rappelle la notation  $\text{Cyl}(i, m, \alpha) = T^m \sigma^i([\alpha])$  (voir section 5.2). On rappelle que la fonction  $\psi_i$  est constante sur chaque  $\text{Cyl}(i, m, \alpha)$  et on notera par  $\psi(i, m, \alpha)$  cette valeur. On définit deux fonctions  $f_a^{(i)}, f_b^{(i)} : [0, \lambda] \rightarrow \mathbb{R}$  par

$$f_a^{(i)}(x) = \frac{\psi(i, \lfloor \lambda^{i-1} x \rfloor, a)}{\delta_2^{i-1} \lambda^{(i-1)(i-2)/2}} \quad \text{et} \quad f_b^{(i)}(x) = \frac{\psi(i, \lfloor \lambda^{i-1} x \rfloor, b)}{\delta_2^{i-1} \lambda^{(i-1)(i-2)/2}}.$$

On a alors pour  $x \in [0, \lambda]$  et  $n$  entier positif la relation :

$$f_w^{(i)}(x + \lambda n) = f_{w_n}^{(i)}(x).$$

Comme pour tout  $\mathbf{u} \in \text{Cyl}(i, 0, \alpha)$  on a  $\psi_i(T^{\lambda^i} \mathbf{u}) = \psi_i(\mathbf{u})$  on en déduit que

$$f_w^{(i)}(0) = f_a^{(i)}(0) = f_b^{(i)}(0) = \frac{-c_i}{\delta_2^i \lambda^{(i-1)(i-2)/2}}.$$

D'autre part, comme pour tout mot  $\mathbf{u}$  on a  $\psi_i(T\mathbf{u}) - \psi_i(\mathbf{u}) = \psi_{i-1}(\mathbf{u})$  on obtient l'équation

$$f_w^{(i)}\left(x + \frac{1}{\lambda^{i-1}}\right) - f_w^{(i)}(x) = \frac{1}{\delta_2 \lambda^{i-2}} f_w^{(i-1)}(\lambda x). \quad (20)$$

Tout le reste de cette section sera dédiée à la preuve du résultat suivant qui précise l'énoncé du théorème 4 de l'introduction.

**Théorème 5.** *Soit  $\sigma$ ,  $f_w^{(i)}$ ,  $f_a^{(i)}$  et  $f_b^{(i)}$  comme ci-dessus. Les suites  $f_w^{(i)}$ ,  $f_a^{(i)}$  et  $f_b^{(i)}$  convergent uniformément vers des fonctions continues  $f_w$ ,  $f_a$  et  $f_b$  sur respectivement  $\mathbb{R}^+$ ,  $[0, \lambda]$  et  $[0, \lambda]$ . De plus :*

1.  $f_a$  et  $f_b$  ne sont pas nulles,
2.  $f_a(0) = f_b(0) = \lim -c_i / \delta_2^{i-1} \lambda^{(i-1)(i-2)/2}$ ,
3. pour  $x \in [0, \lambda]$  et  $n$  entier :  $f_w(x + \lambda n) = f_{w_n}(x)$ ,
4.  $f_w$  est solution de l'équation  $(E_{\lambda, \delta_2(\sigma)})$ .

Une fois la convergence établie, les items 2, 3 et 4 proviennent directement de la construction.

**7.1 Convergence aux points  $\lambda$ -adiques.** On appelle un point  $\lambda$ -adique un réel  $x$  tel qu'il existe un entier  $n$  tel que  $\lambda^n x$  soit entier.

**Lemme 27.** *Les fonctions  $f_w^{(i)}$ ,  $f_a^{(i)}$  et  $f_b^{(i)}$  convergent en tout point  $\lambda$ -adique.*

*De plus, si on note respectivement  $\lambda_a$  et  $\lambda_b$  le nombre de  $a$  et  $b$  dans  $\sigma(a)$  alors pour tout entier  $0 \leq k < \lambda$  on a pour tout  $i \geq 1$*

$$f_a^{(i)}(k+1) - f_a^{(i)}(k) = \begin{cases} \frac{\lambda_b}{\lambda}(\varphi(a) - \varphi(b)) & \text{si } (\sigma(a))_k = a \\ \frac{\lambda_a}{\lambda}(\varphi(b) - \varphi(a)) & \text{si } (\sigma(a))_k = b. \end{cases}$$

et

$$f_b^{(i)}(k+1) - f_b^{(i)}(k) = \begin{cases} \frac{\lambda_b}{\lambda}(\varphi(a) - \varphi(b)) & \text{si } (\sigma(b))_k = a \\ \frac{\lambda_a}{\lambda}(\varphi(b) - \varphi(a)) & \text{si } (\sigma(b))_k = b. \end{cases}$$

Preuve. Soit  $x$  un réel tel que  $\lambda^{i_0-1}x = m \in \mathbb{N}$ . On note  $k_j = \delta_2^{j-1}\lambda^{(j-1)(j-2)/2}$  les coefficients de renormalisation. Alors pour tout  $i \geq 0$  :

$$f^{(i+i_0)}(x) = \frac{\psi_{i+i_0}(T^{m\lambda^i}\mathbf{w})}{k_{i+i_0}} ; \quad f_a^{(i+i_0)}(x) = \frac{\psi(i+i_0, m\lambda^i, a)}{k_{i+i_0}} \quad \text{et} \quad f_b^{(i+i_0)}(x) = \frac{\psi(i+i_0, m\lambda^i, b)}{k_{i+i_0}}.$$

Nous allons montrer que la suite  $(f^{(i)}(x))_i$  converge, ce qui prouvera le résultat.

$$\begin{aligned} f^{(i+i_0)}(x) &= \frac{\psi_{i+i_0}(T^{m\lambda^i}\mathbf{w})}{k_{i+i_0}} = \frac{S_{m\lambda^i}^{(i+i_0)}(\varphi, \mathbf{w}) - p_{i+i_0}(m\lambda^i)}{k_{i+i_0}} \\ &= \frac{1}{\delta_2^{i_0-1}} \frac{S_{m\lambda^i}^{(i+i_0)}(\varphi, \mathbf{w}) - p_{i+i_0}(m\lambda^i)}{\delta_2^n \lambda^{\binom{i+i_0}{2}}} \\ &= \frac{S_{m\lambda^i}^{(i+i_0)}(\varphi, \mathbf{w}) - R_{i+i_0, i+i_0}(m) - c_{i+i_0}}{k_{i+i_0}} \quad \text{d'après l'équation (8)} \\ &= \frac{S_{m\lambda^i}^{(i+i_0)}(\varphi, \mathbf{w}) - R_{i, i+i_0}(m)}{k_{i+i_0}} + \frac{R_{i, i+i_0}(x) - R_{i+i_0, i+i_0}(x)}{k_{i+i_0}} - \frac{c_{i+i_0}}{k_{i+i_0}} \end{aligned}$$

Les trois termes ci-dessus convergent d'après le corollaire 25 et la proposition 26.

Dans le cas particulier  $i_0 = 1$ , on obtient une formule explicite et qui ne dépend pas de  $i$ . Ceci est directement relié au fait que, dans la Proposition 24, les valeurs de  $s_1^{(n)}$  renormalisées sont constantes. Comme dans la section 5.2, on note  $\text{Cyl}(0, 0, a)$  le cylindre de  $K_{\sigma, \mathbb{Z}}$  des mots  $\cdots u_{-1} \cdot u_0 u_1 \cdots$  tels que  $u_0 = a$ . D'après les formules pour les sommes de Birkhoff (11) et (12), on sait que pour  $\mathbf{u} \in \sigma^i(\text{Cyl}(0, 0, a)) = \text{Cyl}(i, 0, a)$  on a

$$\psi_{i+1}(T^{\lambda^i}\mathbf{u}) - \psi_{i+1}(\mathbf{u}) = S^{(1)}(\psi_i, \sigma^i(a)).$$

De la même façon pour  $\mathbf{u} \in \text{Cyl}(i, 0, b)$  en remplaçant  $a$  par  $b$  ci-dessus. En particulier, cette quantité ne dépend pas de  $\mathbf{u}$ . D'autre part, nous savons par la proposition 24 que pour tout  $i \geq 1$  que

$$S_{\lambda^i}^{(1)}(\psi_i, \sigma^i(a)) - S_{\lambda^i}^{(1)}(\psi_i, \sigma^i(b)) = S_{\lambda^i}^{(i+1)}(\varphi, \sigma^i(a)) - S_{\lambda^i}^{(i+1)}(\varphi, \sigma^i(b)) = (\varphi(a) - \varphi(b))\delta_2^i \lambda^{(i-1)(i-2)/2}.$$

De plus,  $\psi_{i+1}$  est de moyenne nulle et donc

$$\lambda_a S^{(1)}(\psi_i, \sigma^i(a)) + \lambda_b S^{(1)}(\psi_i, \sigma^i(b)) = 0.$$

En recollant ces deux égalités, on obtient le résultat annoncé.  $\square$

Ainsi les valeurs aux points entiers sont constantes le long de la suite  $f^{(i)}$ . Ce n'est plus vrai pour les points de la forme  $m/\lambda^2$  du fait de la formule pour  $s_2^{(n)}$  dans la proposition 24. Lorsqu'on choisit  $\varphi = \lambda_b \chi_a - \lambda_a \chi_b$  alors la différence  $f_a(k+1) - f_a(k)$  vaut soit  $\lambda_b$  si la  $k$ -ème lettre de  $\sigma(a)$  est un  $a$  et vaut  $-\lambda_a$  sinon. On peut voir ce fait sur les figures 7, 8 et 9.

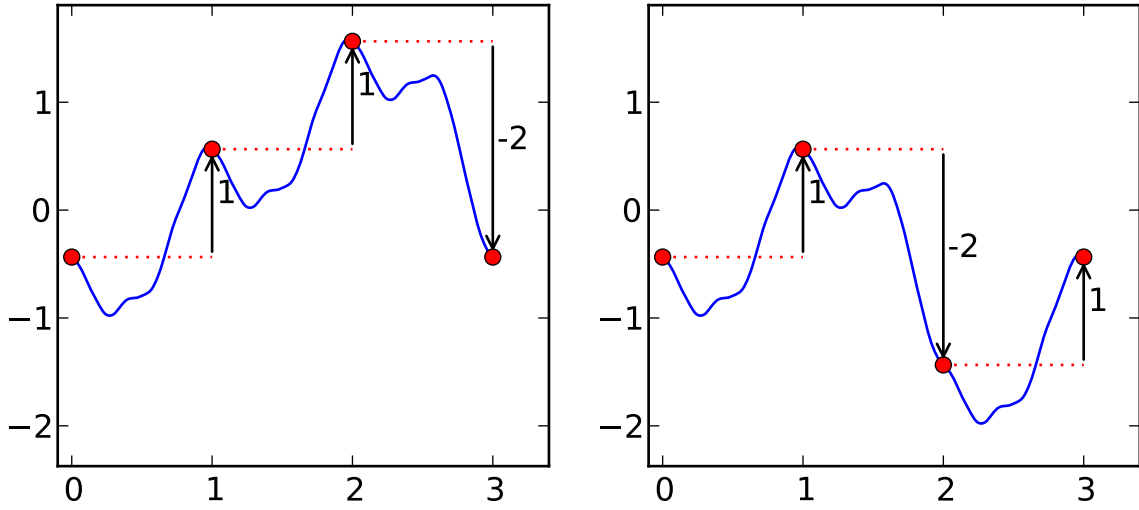


FIGURE 7 – Les fonctions  $f_a$  et  $f_b$  pour  $a \mapsto aab, b \mapsto aba$  et pour  $\varphi = \chi_a - 2\chi_b$ .

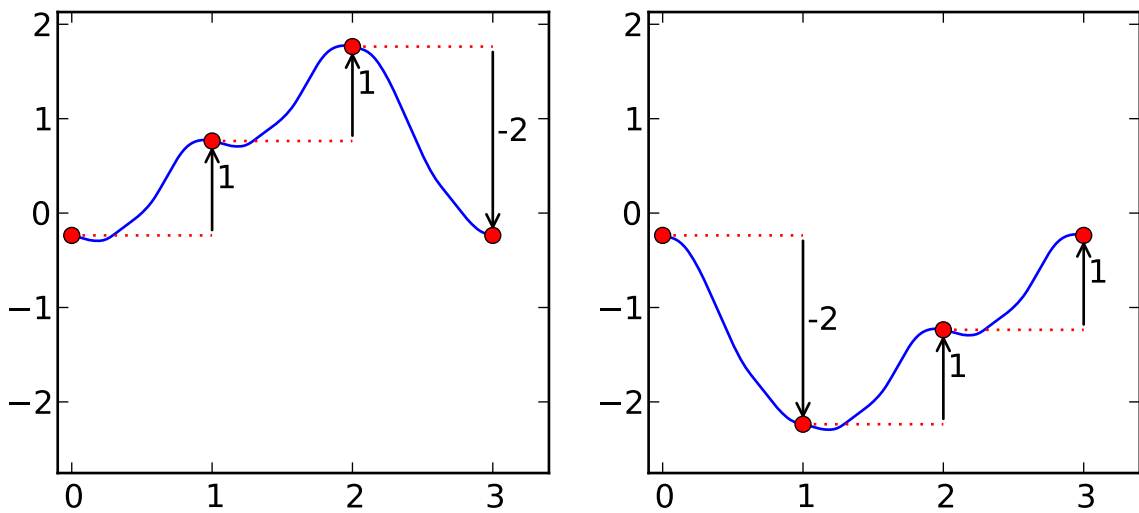


FIGURE 8 – Les fonctions  $f_a$  et  $f_b$  pour  $a \mapsto aab, b \mapsto baa$  et pour  $\varphi = \chi_a - 2\chi_b$ .

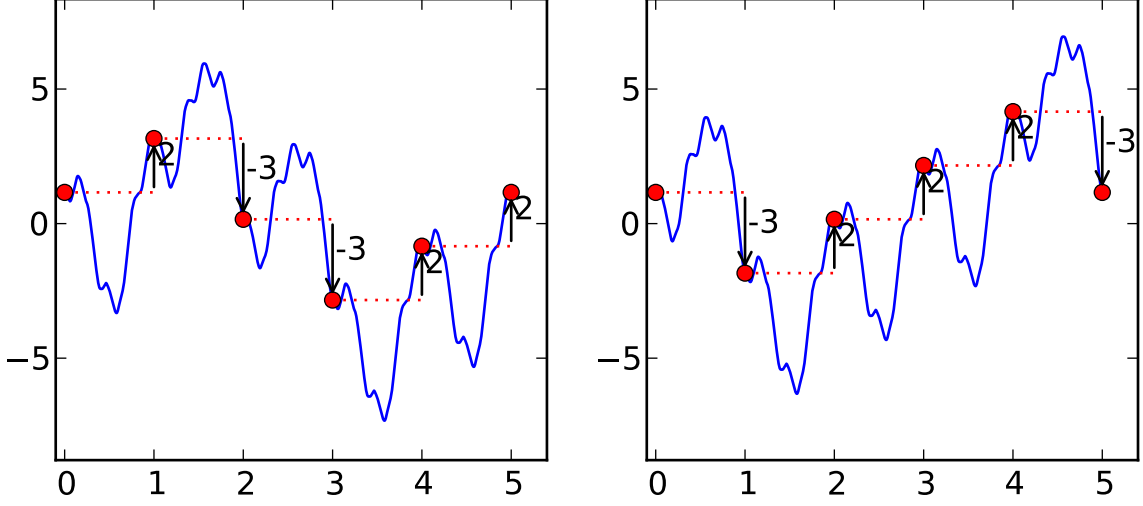


FIGURE 9 – Les fonctions  $f_a$  et  $f_b$  pour  $a \mapsto abbaa, b \mapsto baaab$  et pour  $\varphi = 2\chi_a - 3\chi_b$ .

*7.2 Borne uniforme.* Nous attaquons la partie la plus délicate de la preuve : montrer que les fonctions  $f^{(i)}$  sont bornées. La preuve est très similaire à celle de la proposition 26 pour la convergence des coefficients  $c_\ell$ .

**Proposition 28.** *La suite de fonctions  $f^{(i)}$  est uniformément bornée.*

En conséquence, puisque  $f^{(i)}$  est une "concaténation" de fonctions  $f_a^{(i)}$  et  $f_b^{(i)}$ , ces suites de fonctions sont également uniformément bornées.

Preuve. Fixons un entier  $\ell > \lambda + 1$ . Nous noterons  $q_{i,n} = q_{i,n}(\lambda)$  et  $k_j = \delta_2^j \lambda^{(j-1)(j-2)/2}$ .

Nous commençons par relier les valeurs prises par la fonction  $f^{(\ell)}$ , à celles prises par les fonctions  $f^{(1)}, \dots, f^{(\ell-1)}$ .

D'après le corollaire 13 et le travail fait dans la partie 4.3, pour tout entier  $r$  :

$$S_{r\lambda}^{(\ell)} = \sum_{j=2}^{\ell-1} \sum_{i=2}^{\ell-j+1} q_{j-1,\ell-i} \left( \delta_i \cdot S_r^{(j)} + \beta_i \binom{r}{j} \right). \quad (21)$$

Puisque pour tout entier  $r$ , et tout entier  $j \leq \ell$ ,  $S_{i\lambda^\ell}^{(j)} = p_j(i\lambda^\ell) - c_j$ , nous en déduisons que

$$p_\ell(r\lambda) - c_\ell = \sum_{j=2}^{\ell-1} \sum_{i=2}^{\ell-j+1} q_{j-1,\ell-i} \left( \delta_i \cdot (p_j(r) - c_j) + \beta_i \binom{r}{j} \right). \quad (22)$$

Rappelons maintenant la relation vérifiée par les coefficient  $c_i$  :

$$c_\ell = \frac{1}{\lambda} \sum_{j=2}^{\ell} \sum_{i=1}^{\ell-j+2} q_{j-1,\ell+1-i} \delta_i c_{j-1} - \frac{1}{\lambda} \binom{\lambda}{2} c_{\ell-1} - \dots - \frac{1}{\lambda} \binom{\lambda}{\lambda+1} c_{\ell-\lambda}.$$

Nous posons alors

$$\mathcal{C}_\ell = \sum_{j=2}^{\ell} \sum_{i=1}^{\ell-j+2} \left( q_{j-1,\ell+1-i} \frac{\delta_i}{\lambda} c_{j-1} - q_{j-1,\ell-i} \delta_i c_j \right) - \frac{1}{\lambda} \sum_{k=1}^{\lambda} \binom{\lambda}{k+1} c_{\ell-k} \text{ et } \tilde{\mathcal{C}}_\ell = \frac{1}{k_\ell} \mathcal{C}_\ell.$$



En rassemblant les équations (21) et (22), nous trouvons :

$$f^{(\ell)}\left(\frac{r\lambda}{\lambda^{\ell-1}}\right) = \frac{1}{k_\ell} \sum_{j=2}^{\ell-1} \sum_{i=2}^{\ell-j+1} q_{j-1, \ell-i} \delta_i \cdot \left(S_r^{(j)} - p_j(r)\right) + \tilde{\mathcal{C}}_\ell.$$

Nous trouvons donc :

$$f^{(\ell)}\left(\frac{r\lambda}{\lambda^{\ell-1}}\right) = \sum_{j=2}^{\ell-1} \sum_{i=2}^{\ell-j+1} q_{j-1, \ell-i} \delta_i \cdot f^{(j)}\left(\frac{r}{\lambda^{\ell-1}}\right) \cdot \frac{k_j}{k_\ell} + \tilde{\mathcal{C}}_\ell.$$

D'après l'équation (20), entre deux valeurs de  $\frac{i\lambda}{\lambda^{\ell-1}}$ , la fonction  $f_\ell$  est une somme renormalisée d'au plus  $\lambda$  termes de  $f^{(\ell-1)}(x)$ .

Remarquons que pour  $1 \leq k \leq \ell - 2$  :  $\binom{\ell-1}{2} - \binom{\ell-k-1}{2} \geq \binom{\ell-1}{2} - \binom{\ell-3}{2} = 2\ell - 5$ . Rappelons que les poynômes  $q_{i,j}$  sont à valeurs dans  $\mathbb{N}$ . En notant  $\|\delta\| = \sup\{|\delta_i|; i \in \mathbb{N}^*\} = \max\{|\delta_i|; 1 \leq i \leq \lambda\}$ ,  $M = \|\delta\| \cdot \lambda^5$  et puisque  $|\delta_2| \geq 1$  :

$$\|f^{(\ell)}\|_\infty \leq \|f^{(\ell-1)}\|_\infty + M \frac{1}{\lambda^{2\ell}} \left( \sum_{j=2}^{\ell-2} \sum_{i=2}^{\ell-j+1} q_{j-1, \ell-i} \right) \cdot \|f^{(j)}\|_\infty + \lambda \frac{\|\delta\|}{\lambda^{\ell-2}} \|f^{(\ell-1)}\|_\infty + |\tilde{\mathcal{C}}_\ell|.$$

Notons alors  $F_r = \sup\{\|f^{(j)}\|; 1 \leq j \leq r\}$ , en utilisant la majoration du lemme 23 et  $\theta = \frac{2\lambda-1}{\lambda^2} \in ]0, 1[$  :

$$\|f^{(\ell)}\|_\infty \leq \left(1 + \frac{M}{\lambda^\ell}\right) \|f^{(\ell-1)}\|_\infty + M \cdot \theta^\ell \cdot \binom{\ell}{2} \cdot F_{\ell-2} + |\tilde{\mathcal{C}}_\ell|. \quad (23)$$

On étudie maintenant le comportement de la suite  $|\tilde{\mathcal{C}}_\ell|$ .

$$\mathcal{C}_\ell = \sum_{i=2}^{\lambda} q_{1, \ell+1-i} \delta_i c_1 + \sum_{j=2}^{\ell-1} \sum_{i=2}^{\ell-j+1} \left( \frac{1}{\lambda} q_{j, \ell+1-i} - q_{j-1, \ell-i} \right) \delta_i c_j - \frac{1}{\lambda} \sum_{k=1}^{\lambda} \binom{\lambda}{k+1} c_{\ell-k}.$$

Le coefficient de  $c_{\ell-1}$  est nul dans la double somme. En notant  $\|\lambda\| = \sup\{\binom{\lambda}{j}; j \geq 1\}$  et  $\tilde{c}_j = \sup\{|c_k|; 1 \leq k \leq j\}$  :

$$|\mathcal{C}_\ell| \leq 2\lambda(2\lambda-1)^\ell \|\delta\| \tilde{c}_{\ell-2} + \|\lambda\| \cdot \tilde{c}_{\ell-1}$$

Puisque  $\frac{1}{k_\ell} c_\ell$  converge, cette suite est bornée et il existe une constante  $D$  telle que pour tout entier  $\ell$  et pour  $k \in \{1, \dots, \ell-2\}$ ,  $\frac{1}{k_\ell} |c_k| \leq \frac{1}{\lambda^{2\ell}} D$  et

$$\frac{\tilde{c}_{\ell-2}}{k_\ell} \leq \frac{1}{\lambda^{2\ell}} D \text{ et } \frac{\tilde{c}_{\ell-1}}{k_\ell} \leq \frac{1}{\lambda^\ell} D.$$

Finalement il existe une constante  $\Delta$  tel que

$$|\tilde{\mathcal{C}}_\ell| = \left| \frac{\mathcal{C}_\ell}{k_\ell} \right| \leq \Delta \left( \theta^\ell + \frac{1}{\lambda^\ell} \right). \quad (24)$$

En rassemblant (23) et (24) :

$$\|f^{(\ell)}\|_\infty \leq \left(1 + \frac{M}{\lambda^\ell} + M\theta^\ell \binom{\ell}{2}\right) F_{\ell-1} + \Delta \left(\theta^\ell + \frac{1}{\lambda^\ell}\right).$$

On peut alors appliquer le lemme 2 qui permet de conclure que la suite  $(\|f^{(\ell)}\|)_\ell$  est convergente donc bornée.  $\square$

### 7.3 Fin de la preuve.

**Lemme 29.** Pour tout  $i \geq 1$ , tout  $x, y \in [0, \lambda]$  et  $u \in \{a, b\}$  :

$$\left| f_u^{(i)}(y) - f_u^{(i)}(x) \right| \leq \frac{\lambda}{\delta_2} \left\| f_u^{(i-1)} \right\| \left( |y - x| + \frac{2}{\lambda^{i-1}} \right).$$

De plus, pour tout  $i \geq 1$  et  $x, y \in \mathbb{R}^+$  :

$$\left| f_w^{(i)}(y) - f_w^{(i)}(x) \right| \leq \frac{\lambda}{\delta_2} \left\| f_w^{(i-1)} \right\| \left( |y - x| + \frac{2}{\lambda^{i-1}} \right).$$

Preuve. Nous faisons la preuve avec  $u = a$ . Soit  $x_i = \lfloor \lambda^{i-1} x \rfloor / \lambda^{i-1}$  et  $y_i = \lfloor \lambda^{i-1} y \rfloor / \lambda^{i-1}$ . Alors  $f_a^{(i)}(x_i) = f_a^{(i)}(x)$  et  $f_a^{(i)}(y_i) = f_a^{(i)}(y)$ . Maintenant pour tout  $u \in K_\sigma$

$$|\psi_i(T^{\lambda^{i-1} y_i} u) - \psi_i(T^{\lambda^{i-1} x_i} u)| = |S_{\lambda^{i-1}(y_i - x_i)}^{(1)}(\psi_{i-1}, T^{\lambda^{i-1} x_i} u)| \leq \lambda^{i-1} |y_i - x_i| \cdot \|\psi_{i-1}\|.$$

Et donc

$$|f_a^{(i)}(y_i) - f_a^{(i)}(x_i)| \leq \frac{\lambda^{i-1} \delta_2^{i-1} \lambda^{(i-2)(i-3)/2}}{\delta_2^i \lambda^{(i-1)(i-2)/2}} |y_i - x_i| \cdot \|f_a^{(i-1)}\| = \frac{\lambda}{\delta} \|f_a^{(i-1)}\| \cdot |y_i - x_i|.$$

Il suffit alors de remarquer que  $|y_i - x_i| \leq |y - x| + 2/\lambda^{i-1}$  pour conclure.

La même preuve montre la deuxième relation de l'énoncé.  $\square$

**Proposition 30.** Les fonctions  $f_w, f_a$  et  $f_b$  sont continues et la fonction  $f$  est solution de l'équation intégrale  $(E_{\lambda, \delta_2})$ .

Preuve. La continuité des fonctions est une conséquence directe du lemme 29 et du fait que les fonctions  $f_a^{(i)}, f_b^{(i)}$  et  $f^{(i)}$  sont uniformément bornées (proposition 28).

En reprenant l'équation (20) et puisque  $\binom{i-1}{2} + i - 1 = \binom{i-2}{2}$ , nous trouvons pour tout entier  $n$  :

$$\int_0^{n/\lambda^{i-1}} f^{(i)}(t) dt = \sum_{j=0}^{n-1} f^{(i)}\left(\frac{j}{\lambda^{i-1}}\right) \frac{1}{\lambda^{i-1}} = \delta_2 f^{(i+1)}\left(\frac{n}{\lambda^i}\right) - \delta_2 f^{(i+1)}(0).$$

En passant à la limite, la fonction  $f$  vérifie l'équation intégrale en tout point  $\lambda$ -adique. Par densité des points  $\lambda$ -adiques et par continuité de la fonction,  $f$  est solution de l'équation intégrale.  $\square$

#### A LE CAS $\delta_2 = 0$

L'hypothèse  $\delta_2 \neq 0$  dans le théorème 4 est essentielle. Nous expliquons quels résultats restent valables dans ce cas et présentons le résultat de simulations.

Soit  $\sigma$  une substitution sur  $\{a, b\}$  de longueur constante  $\lambda$  et telle que  $|\sigma(a)|_a = |\sigma(b)|_a$ . On suppose également que  $\sigma(a) \neq \sigma(b)$  (car sinon le point fixe de  $\sigma$  est un mot périodique). On sait par la proposition 9 qu'il existe un entier  $2 \leq k < \lambda$  tel que  $\delta_2 = \delta_3 = \dots = \delta_{k-1} = 0$  et  $\delta_k \neq 0$ . Dans cet article nous avons construit une solution à l'équation  $(E_{\lambda, \delta})$  lorsque  $k = 2$ .

De manière générale, le théorème 17 s'applique. En particulier, nous savons que l'on peut construire une solution  $\psi = (\psi_1, \psi_2, \dots)$  à l'équation cohomologique  $\varphi = (U_T - A)\psi$  dès que  $\varphi : \{a, b\} \rightarrow \mathbb{R}$  est de moyenne nulle. En particulier, toutes les sommes de Birkhoff (recentrées) sont bornées. Il semblerait que les  $2n$ -ièmes sommes itérées (respectivement les  $2n+1$ -ièmes sommes itérées) le long d'un point fixe de  $\sigma$  convergent lorsque le temps est renormalisé par  $\lambda^n$  (resp.  $\lambda^{n+2}$ ).

Les deux exemples les plus simples sont donnés par les substitutions

$$\sigma_1 : \begin{cases} a \mapsto ababa \\ b \mapsto baaab \end{cases} \quad \text{et} \quad \sigma_2 : \begin{cases} a \mapsto abbaa \\ b \mapsto baaba \end{cases}$$

Elles vérifient  $\delta(\sigma_1) = (0, 0, 3, 3, 1)$  et  $\delta(\sigma_2) = (0, 0, 2, 3, 1)$ . Il semblerait que pour ces deux substitutions, les sommes  $S_{\lambda^n}^{(2n)}(\varphi, \sigma^{2n}(a))$  et  $S_{\lambda^{n+2}}^{(2n+1)}(\varphi, \sigma^{2n+1}(a))$  convergent et vers des limites distinctes. On a tracé ces sommes dans les figures 10 et 11. Les points sur les dessins correspondent aux "valeurs entières" de la limite, c'est-à-dire aux temps  $k\lambda^{n-1}$  pour  $S^{(2n)}$  et aux temps  $k\lambda^{2n}$  pour  $S^{(2n+1)}$ . On voit bien que ces valeurs sont toutes identiques et ceci peut-être prouvé en suivant simplement la démonstration de 17 ou bien en calculant les itérés de  $\mathcal{L}$ .

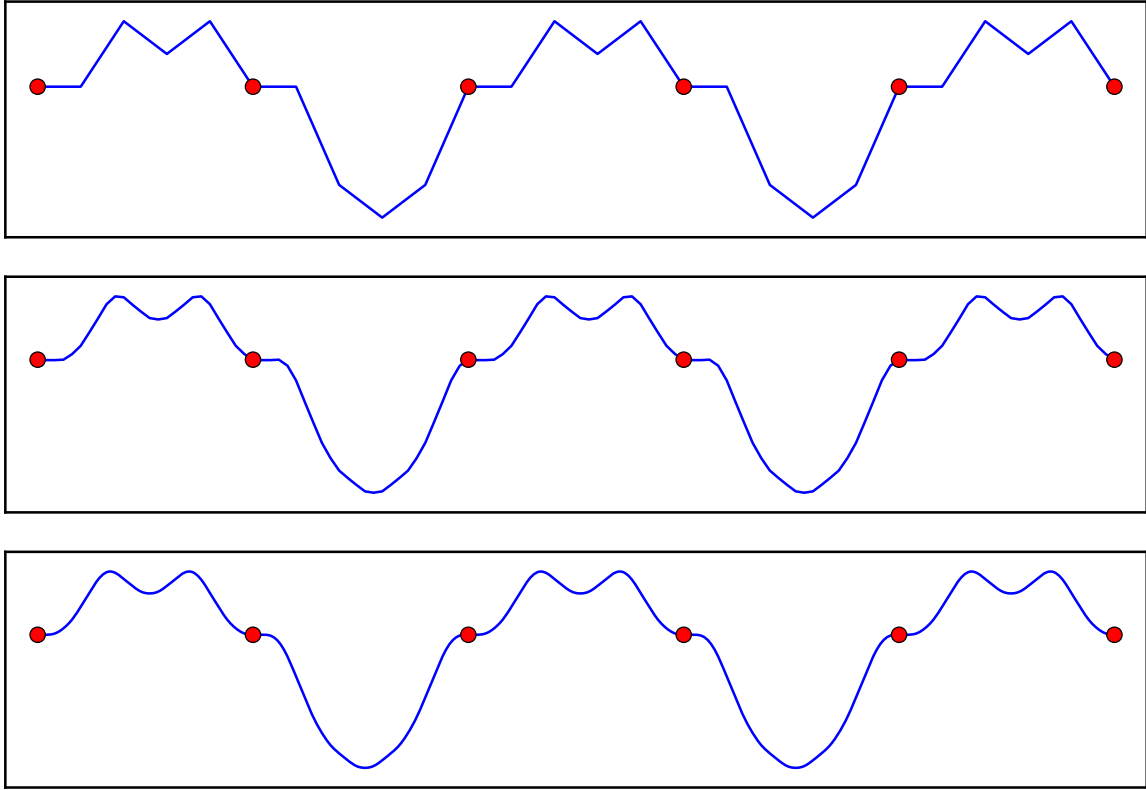


FIGURE 10 – Sommes  $S_{\lambda^n}^{(2n)}(\varphi, \sigma^{2n}(a))$  pour  $n = 1, 2, 3$  et la substitution  $a \mapsto ababa, b \mapsto baaab$ .

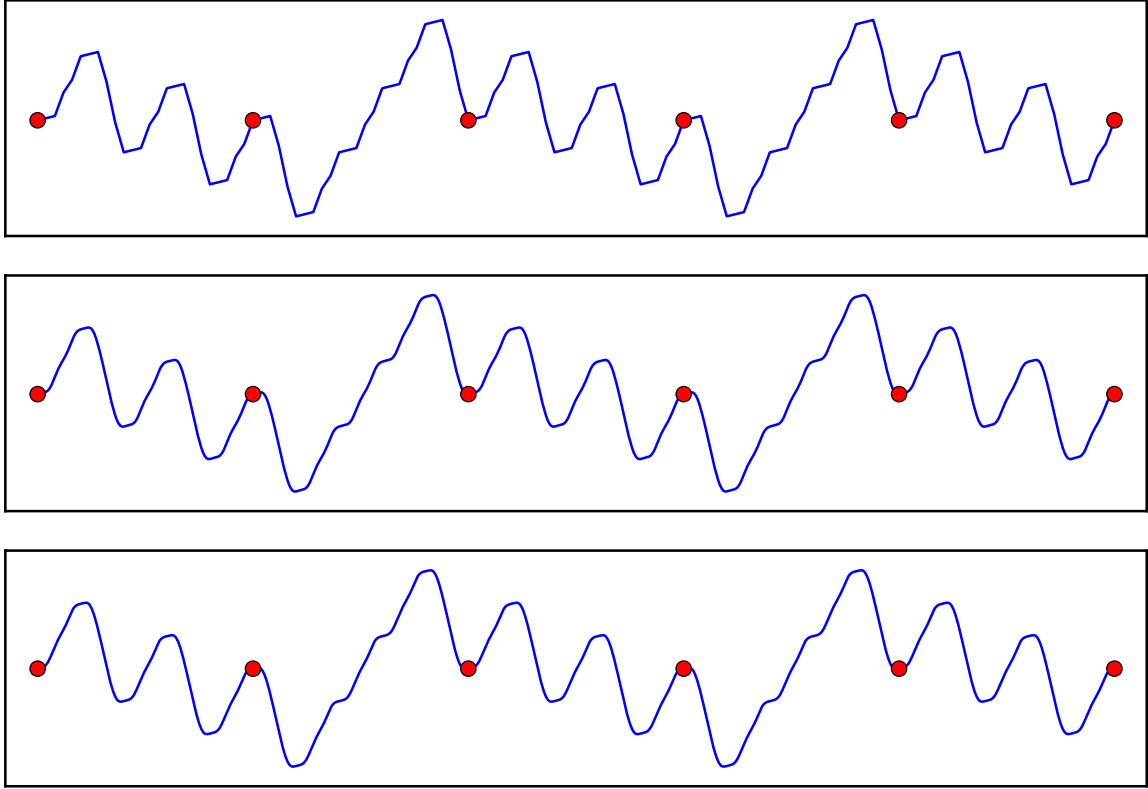


FIGURE 11 – Sommes  $S_{\lambda^{n+2}}^{(2n+1)}(\varphi, \sigma^{2n+1}(a))$  pour  $n = 1, 2, 3$  et la substitution  $a \mapsto ababa, b \mapsto baaab$ .

## B UNE CONSTRUCTION S-ADIQUE

Soit  $\sigma$  une substitution de longueur constante  $\lambda$  telle que  $\delta_1(\sigma) = 0$  et  $\delta_2(\sigma) \neq 0$ . Dans le théorème 5 nous avons construit deux fonctions  $f_a : [0, \lambda] \rightarrow \mathbb{R}$  et  $f_b : [0, \lambda] \rightarrow \mathbb{R}$  comme limite des  $k$ -ièmes sommes de Birkhoff sur respectivement  $\sigma^k(a)$  et  $\sigma^k(b)$ . Étant donné un mot infini  $\mathbf{u} \in \{a, b\}^{\mathbb{N}}$  on peut construire une fonction  $f_{\mathbf{u}} : \mathbb{R}_+ \rightarrow \mathbb{R}$  en posant

$$f_{\mathbf{u}}(x) = f_{\mathbf{u}_m}(x - m\lambda) \quad \text{où } m = \lfloor x/\lambda \rfloor.$$

En adaptant la preuve du théorème 5, il est facile de voir que

$$\int_0^{\lambda x} f_{\sigma(\mathbf{u})} ds = \delta_2 (f_{\mathbf{u}}(x) - f_{\mathbf{u}}(0)). \quad (25)$$

Lorsque  $\mathbf{u} = \sigma(\mathbf{u})$  on retrouve l'équation  $(E_{\lambda, \delta})$ .

Plus généralement, il semble possible de construire des fonctions limites lorsque les substitutions varient. Les constructions de ce type sont appelées S-adiques (voir [DLR13] ou bien [BD14]). Nous présentons un exemple associé aux deux substitutions suivantes

$$\sigma_1 : a \mapsto aaabb, b \mapsto aabab \quad \text{et} \quad \sigma_2 : a \mapsto ababb, b \mapsto abbab.$$

Nous avons choisi ces deux substitutions car elles ont la même longueur  $\lambda = 5$  et le même vecteur  $\delta = (0, 1, 1, 0, 0)$ .

Pour tout mot infini  $\omega = \omega_0\omega_1 \dots \in \{1, 2\}^{\mathbb{N}}$  (on dira *suite directrice*) on peut définir un mot infini comme limite

$$\mathbf{u}(\omega) = \lim_{n \rightarrow \infty} \sigma_{\omega_0} \sigma_{\omega_1} \dots \sigma_{\omega_{n-1}}(a).$$

Par exemple pour  $\omega = 1111\dots$  on retrouve le point fixe de  $\sigma_1$  et pour  $\omega = 2222\dots$  on retrouve le point fixe de  $\sigma_2$ . Plus généralement toute suite directrice périodique correspond à un point fixe de substitution. Étant donné cette suite  $\omega$  on peut également lui associer des décalages  $K_{\omega, \mathbb{N}}$  et  $K_{\omega, \mathbb{Z}}$ .

La preuve du théorème 17 s'adapte directement : toute fonction  $\varphi : \{a, b\} \rightarrow \mathbb{R}$  est un cobord infini sur  $K_{\omega, \mathbb{Z}}$ . Cependant, si nous prenons naïvement la suite des cobords successifs  $\psi_0, \psi_1, \dots$  il n'y a pas de renormalisation convenable qui fasse converger les fonctions.

On considère l'ensemble  $\{1, 2\}^{\mathbb{Z}}$  des mots bi-infinis sur  $S$  et les fonctions  $\varphi_1 = 2\chi_a - 3\chi_b$  et  $\varphi_2 = 3\chi_a - 2\chi_b$ . Si  $\omega_0 = 1$  alors  $\varphi_1$  est de moyenne nulle sur  $K_{\omega, \mathbb{Z}}$  alors que si  $\omega_0 = 2$  alors  $\varphi_2$  est de moyenne nulle.

On note  $\mathbb{Z}_+ = \{0, 1, 2, \dots\}$  et  $\mathbb{Z}_- = \{-1, -2, \dots\}$ . Étant donné un mot infini, on marquera la position de l'indice 0 avec un point ainsi :  $\omega = \dots\omega_{-2}\omega_{-1}.\omega_0\omega_1\dots$ . À chaque mot  $\omega \in S^{\mathbb{Z} \cup \{0\}}$  nous allons construire un couple de fonctions  $f_a : [0, \lambda] \rightarrow \mathbb{R}$  et  $f_b : [0, \lambda] \rightarrow \mathbb{R}$ . On définit  $\psi_{i, \omega} : K_{T^{-i}\omega, \mathbb{Z}} \rightarrow \mathbb{R}$  comme le  $i$ -ème cobord de la fonction  $\varphi_{\omega_{-i}}$ . Bien sûr,  $\psi_i$  ne dépend que de  $\omega_{-i}, \omega_{-i+1} \dots \omega_{-1}$  et  $\omega_0$ . De plus, il est constant sur les cylindres  $\text{Cyl}_{\omega}(i, m, \alpha) := T^m \sigma_{\omega_{-i}} \sigma_{\omega_{-i+1}} \dots \sigma_{\omega_{-1}}([\alpha])$ . On pose

$$f_{\omega, a}^{(i)}(x) = \frac{\psi_{i, \omega}(\text{Cyl}_{\omega}(i, m, a))}{5^{(i-1)(i-2)/2}} \quad \text{et} \quad f_{\omega, b}^{(i)}(x) = \frac{\psi_{i, \omega}(\text{Cyl}_{\omega}(i, m, b))}{5^{(i-1)(i-2)/2}}$$

où  $m = \lfloor 5^{i-1}x \rfloor$ . En suivant la preuve de la proposition 27, on peut montrer que les différences entre deux points entiers successifs de  $f_{\omega, a}$  et  $f_{\omega, b}$  sont constantes et ne dépendent que de  $\sigma_{\omega_{-1}}$ . Nous ne le démontrons pas formellement, mais  $f_{\omega, a}^{(i)}$  et  $f_{\omega, b}^{(i)}$  ainsi définies convergent. Voir les graphiques de la figure 12.

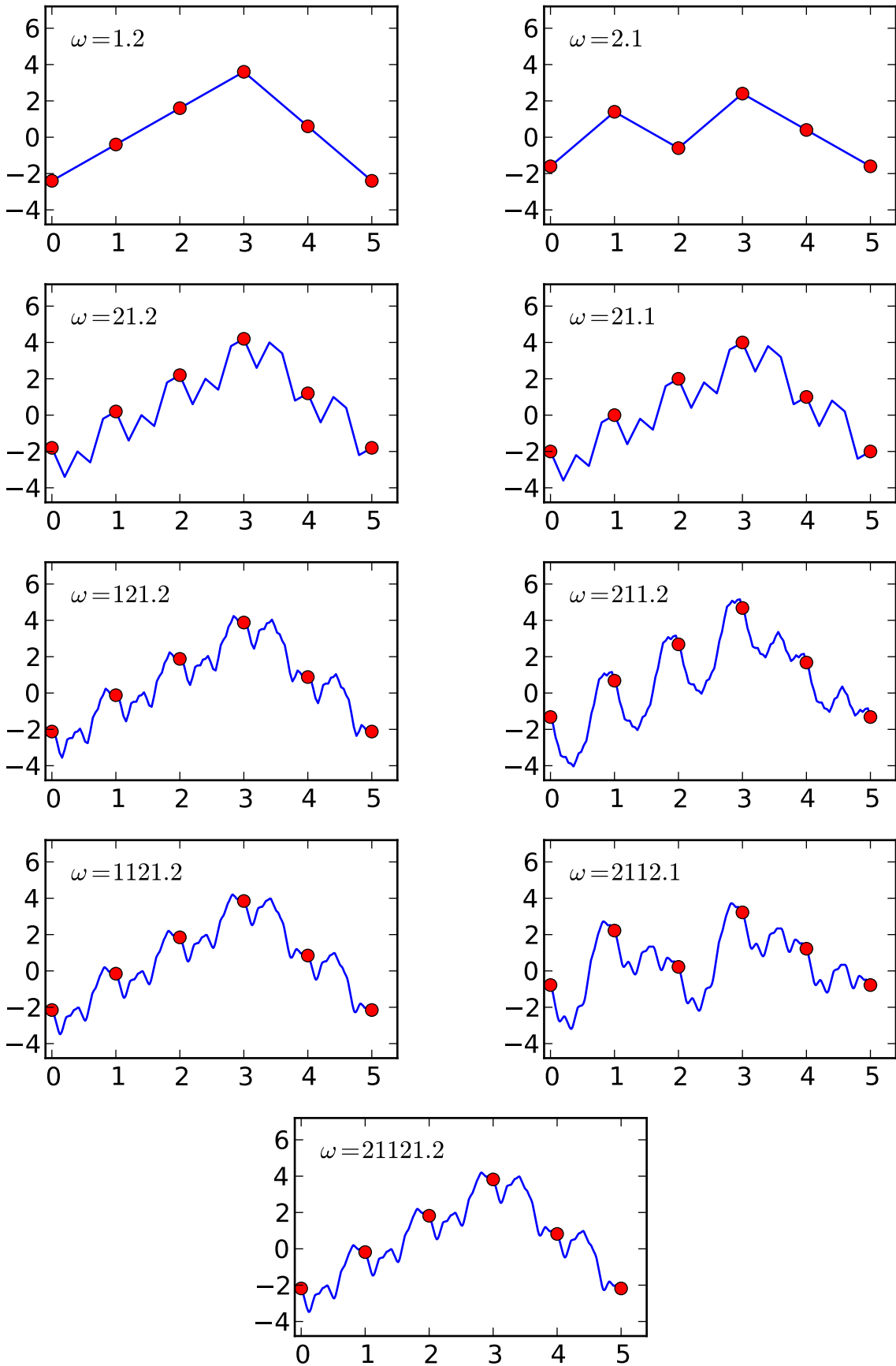


FIGURE 12 – Dessins des premières fonctions  $f_{\omega,a}^{(i)}$ . Les graphiques à gauche sont obtenus en prolongeant  $\omega$  vers la gauche tandis que les graphiques sur la droite sont obtenus en prolongeant  $\omega$  vers la droite. Remarquer que les différences entre les valeurs aux points entiers ne dépendent que de  $\omega_{-1}$ .

En admettant que la construction précédente est valide, nous pourrions associer à chaque mot bi-infini  $\omega \in S^{\mathbb{Z}}$  une fonction  $f_\omega$  en concaténant  $f_{a,\omega}$  et  $f_{b,\omega}$  (qui ne dépend que de  $\omega_-$  et  $\omega_0$ ) selon le motif de  $u(\omega)$  (qui ne dépend que de  $\omega_+$ ). La famille de fonctions  $f_\omega$  vérifierait alors l'équation fonctionnelle

$$\int_{\lambda x}^{\lambda y} f_\omega(s) ds = \delta(\sigma_{\omega_0}) \left( f_{T\omega}(y) - f_{T\omega}(x) \right).$$

où  $T : S^{\mathbb{Z}} \rightarrow S^{\mathbb{Z}}$  est le décalage sur les suites directives.

#### RÉFÉRENCES

- [Ad04] Adamczewski, B. *Symbolic discrepancy and self-similar dynamics*, Ann. Inst. Fourier **54** (2004), 2201–2234.
- [BD14] Berthé, V. et Delecroix, V. *Beyond substitutive dynamical systems : S-adic expansions*, à paraître dans RIMS Lecture note ‘Kokyuroku Bessatu’.
- [DLR13] Durand F., Leroy J. et Richomme G. *Do the properties of an S-adic representation determine factor complexity ?*, J. of Integer sequences **16** (2013)
- [BDMO08] Bogachev L., Derfel G., Molchanov S. and Ockendon J., *On bounded solutions of the balanced generalized pantograph equation*, Topics in stochastic analysis and nonparametric estimation, IMA Vol. Math. Appl., Springer, New York, **145** (2008) 24–49.
- [Bel12-a] Bertazzon, J.-F. *Symbolic approach and induction in the Heisenberg group*, Discret and Cont. Dyn. Syst **32** (2012) 4, 1209–1229.
- [Bel12-b] Bertazzon, J.-F. *Resolution of an integral equation with the Thue-Morse sequence*, Indagationes Mathematicae, **23** (2012) 4, 327–336.
- [Fa66] Fabius, J. *A probabilistic example of a nowhere analytic  $C^\infty$ -function*, Zeitschrift für Wahrscheinlichkeitstheorie und Verwandte Gebiete **5** (1966), Issue 2, pp 173–174.
- [Ge94] Gelbrich, G. *Self-similar periodic tilings on the Heisenberg group*, Journal of Lie theory **4** (1994) 31–37.
- [Mo96] Mossé, B. *Reconnaissabilité des substitutions et complexité des suites automatiques*, Bull. Soc. Math. France **124** (1996) 2 329–346.
- [Pi00] Pinner, C.G. *On the one-sided boundedness of sums of fractional parts  $(\{n\alpha + \gamma\} - \frac{1}{2})$* , Journal of Number Theory, **81**, (2000) 1, 170–204.
- [Pr11] Prunescu, M. *The Thue-Morse-Pascal double sequence and similar structures*, C. R. Acad. Sci. **349** (2011) 939–942.
- [Py00] Fogg, N. Pytheas *Substitutions in dynamics, arithmetics and combinatorics*, Edited by V. Berthé, S. Ferenczi, C. Mauduit and A. Siegel. Lecture Notes in Mathematics, Springer-Verlag, Berlin, 2002.
- [Yo06] Yoneda, T. *On the functional-differential equation of advanced type  $f'(x) = af(2x)$  with  $f(0) = 0$*  J. Math. Anal. Appl., **37** n. 1 (2006), 320–330.
- [Yo07] Yoneda, T. *On the functional-differential equation of advanced type  $f'(x) = af(\lambda x)$ ,  $\lambda > 1$ , with  $f(0) = 0$* , J. Math. Anal. Appl., **332**, no. 1 (2007), 487–496.